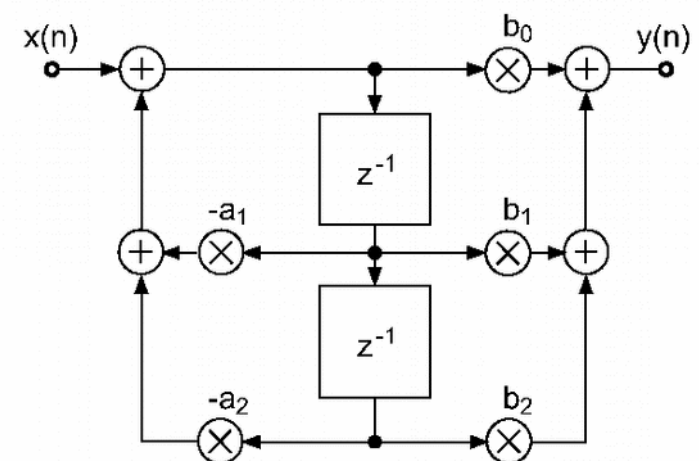
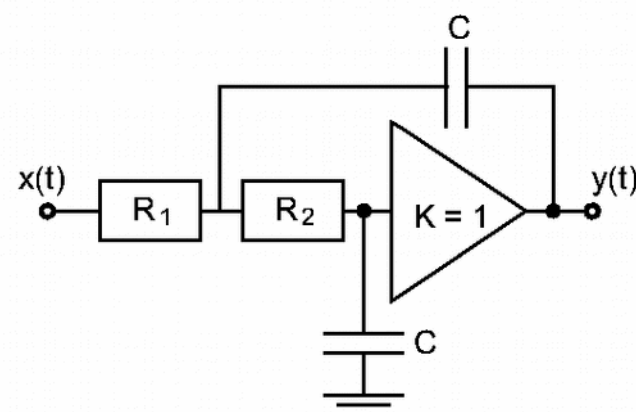
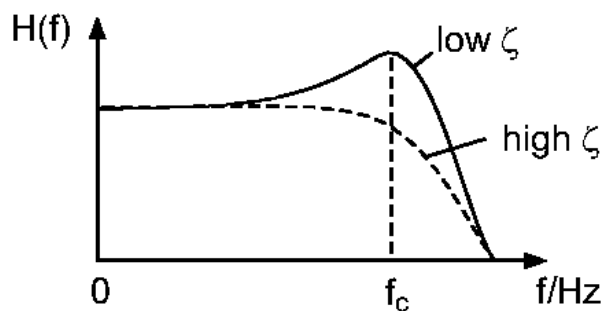


Filter

- Ziele
- Parameter
- Entwurf



Zölzer (2002)

Beschreibung

- Übertragungsfunktion $H(z)$, $H(\omega)$
- Impulsantwort $h[n]$:
 - Finite Impulse Response (FIR)
 - Infinite Impulse Response (IIR)
- Differenzengleichung $y[n]$
- Pol-Nullstellen-Diagramm

Biquad-Filter

$$H(z) = \frac{b_0 + b_1 z^{-1} + b_2 z^{-2}}{1 + a_1 z^{-1} + a_2 z^{-2}}$$

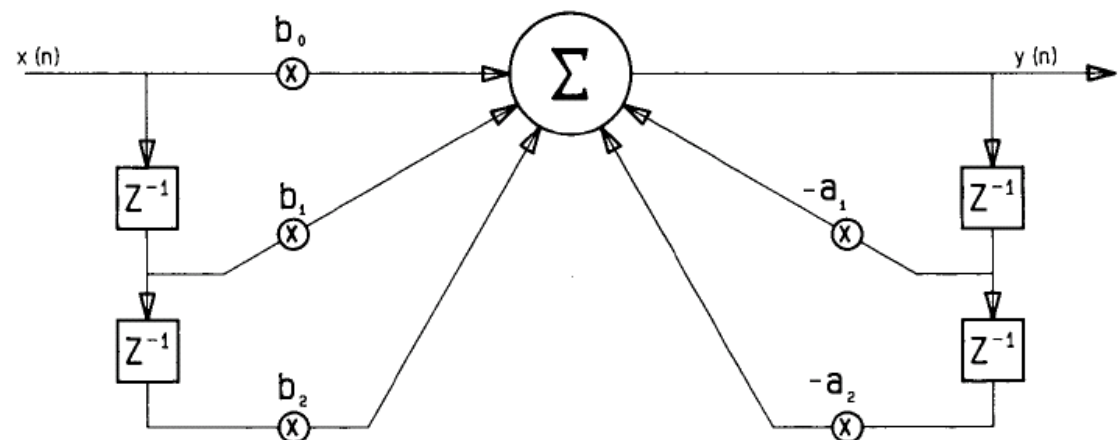
$b_0 = \frac{2r \cos \varphi}{r^2}$

$a_1 = -2 \cos \varphi$

$a_2 = \frac{1 - r^2}{r^2}$

- Stabil bei $r < 1$

$$y[n] = b_0 x[n] + b_1 x[n-1] + b_2 x[n-2] \\ - a_1 y[n-1] - a_2 y[n-2]$$



Datorro (1988)

- Beispiel: Tiefpass:

$$b_0 = 1 / (1 + 2 \cdot d \cdot F + F^2)$$

$$b_1 = 2b_0$$

$$b_2 = b_0$$

$$a_1 = 2b_0(1 - F^2)$$

$$a_2 = b_0(1 - 2 \cdot d \cdot F + F^2)$$

$$F = \frac{1}{\tan(\pi f_c / f_s)} \quad \varphi = 2\pi f_c / f_s$$

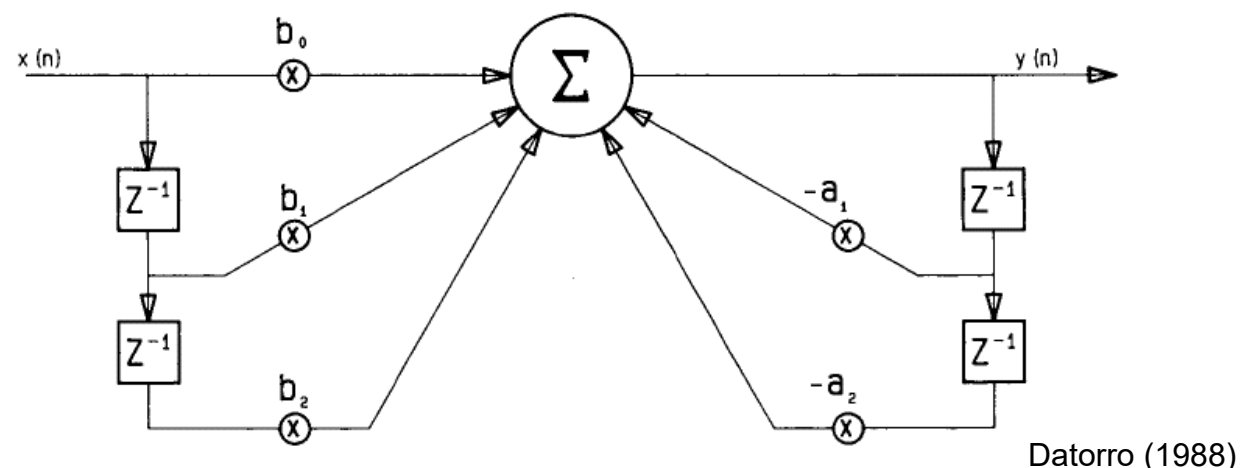
f_c ... Analogie Grenzfrequenz

f_s ... Abtastfrequenz (*sampling frequency*)

d ... Dämpfungsfaktor

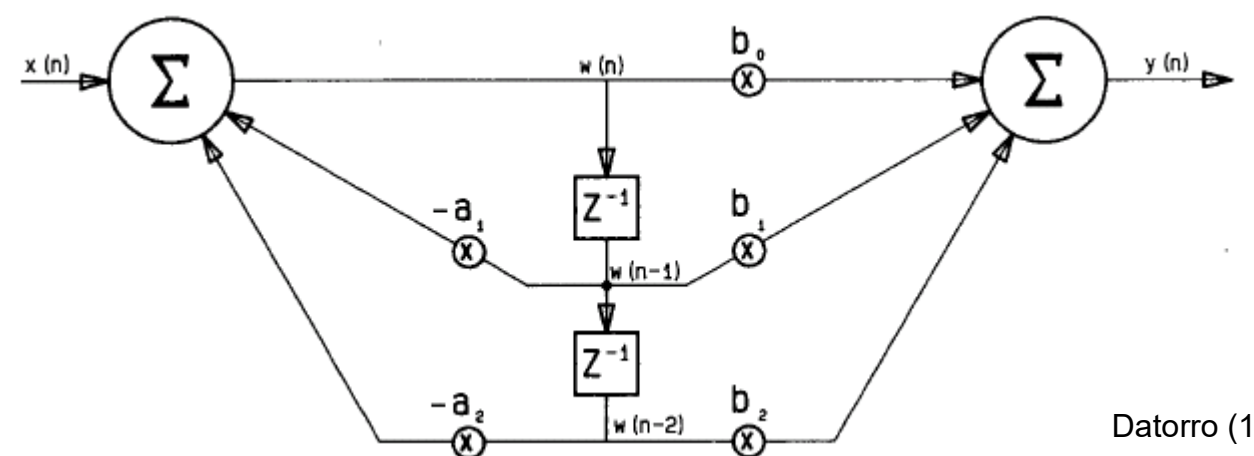
Direktformen

- Direktform I:



Datorro (1988)

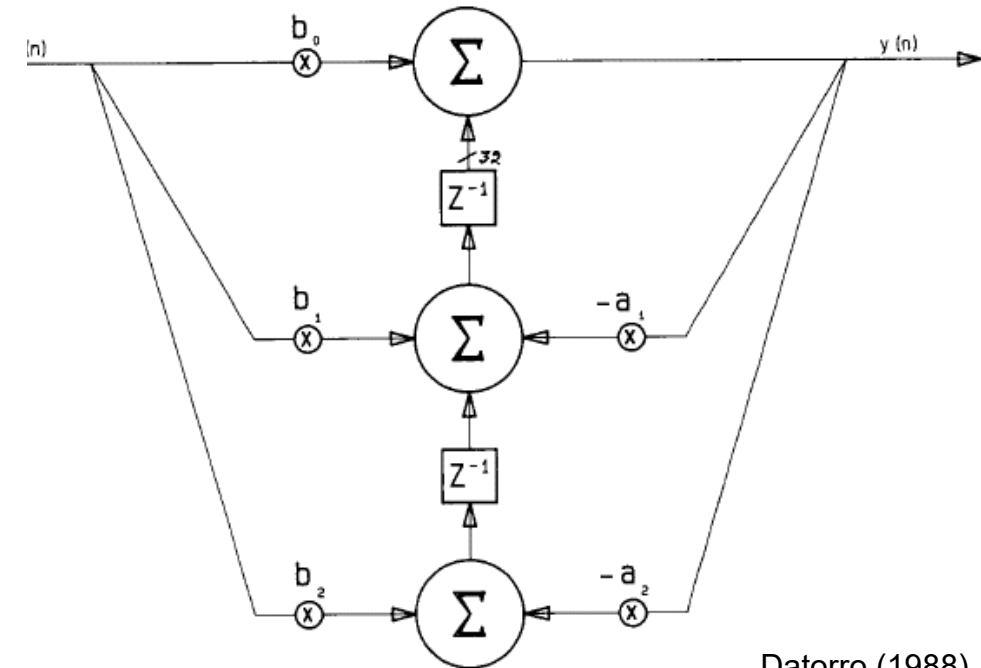
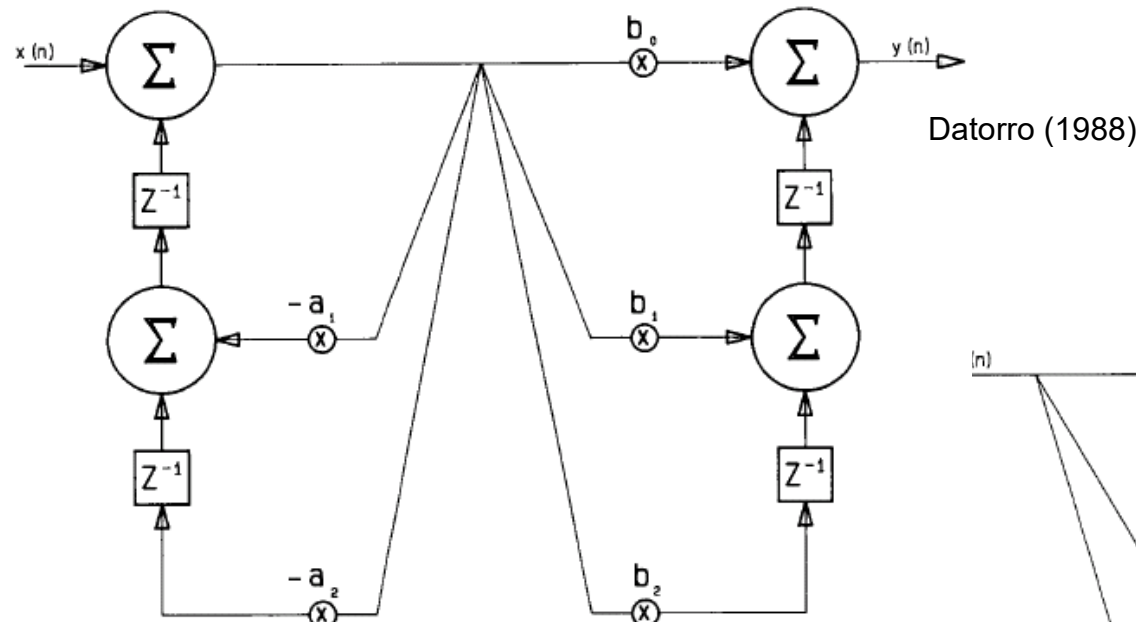
- Direktform II, kanonische Form:



Datorro (1988)

Transponierte Direktformen

- Transp. Direktform I:



- Transp. Direktform II:

Skalierung

- Rechenoperationen:
 - Multiplikation: 16bit x 16bit = 31bit
 - Addition: 16bit + 16bit = 17bit
- Anforderungen:
 - Systemwortbreite: höher als Signalauflösung
 - Akkumulator: deutlich höhere Wortbreite
 - Signal: 16bit – System: 24bit – Akku: 48bit
 - Fließkommaprozessoren:
 - Signal: 24bit – System: 32 floating point
 - Skalierung des Signals, wenn notwendig!

Filter höherer Ordnung

- Zerlegung der gesamten Filterstruktur in Biquad-Teile:
 - Serienschaltung
 - Parallelschaltung:
 - Unüblich: jeder Parameter kann das Verhalten des gesamten Filter verändern
- Unity gain filter:
 - Überlauf vermeiden an internen Knoten
 - Gefährliche Pole mit Nullstellen in einem Filter “aufheben”

Überlauf

- Addition:
 - 1-er Komplement
 - Vorzeichen im MSB,
 - Einfachere Implementierung
 - 2-er Komplement für Addition
 - Wertetabelle:
 - Übliche Implementierung
 - Transparent für Überlauf:

Dezimal	Hex
32767	7FFF
1	1
0	0
-1	FFFF
-2	FFFE
-32768	8000

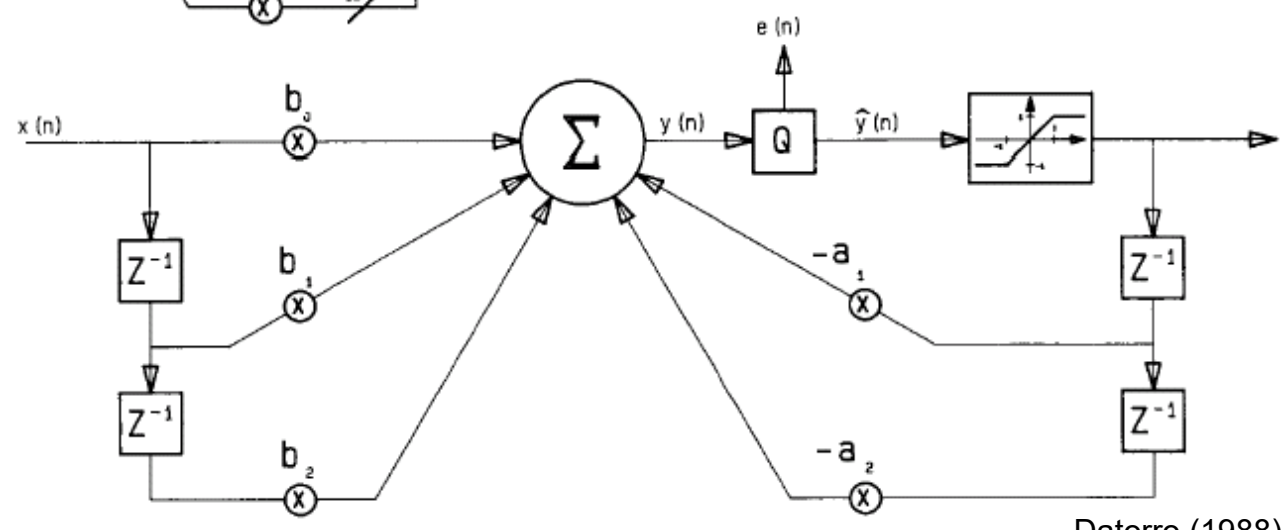
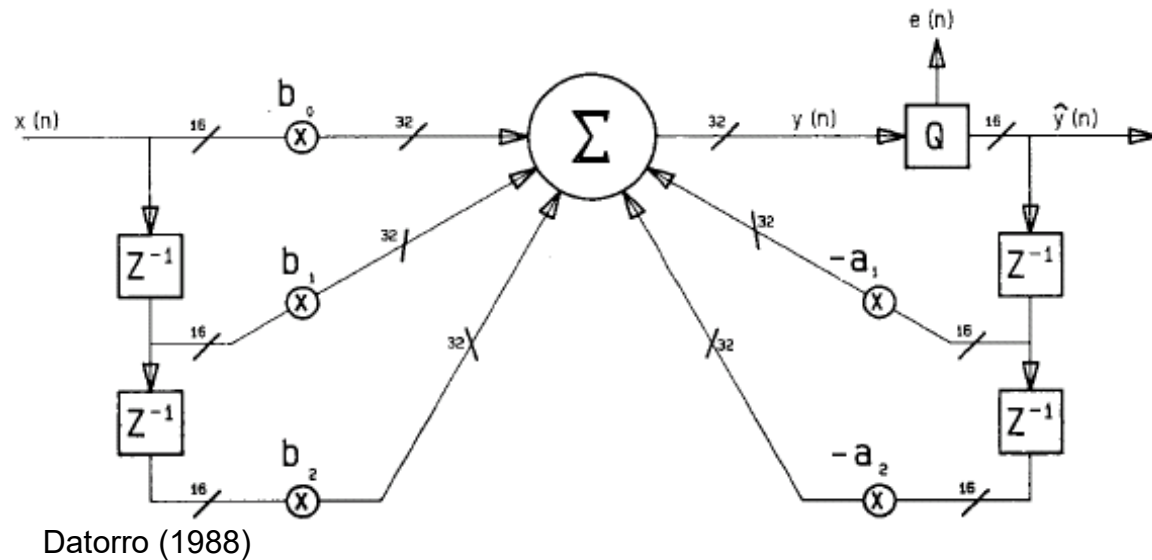
$$32500 + 512 = 33012 \dots 7EF4_{\text{H}} + 200_{\text{H}} = 80F4_{\text{H}} \dots -32524$$

$$33012 + 488 = 33500 \dots 80F4_{\text{H}} + 1E8_{\text{H}} = 82DC_{\text{H}} \dots -32036$$

$$33500 - 1000 = 32500 \dots 82DC_{\text{H}} - 3E8_{\text{H}} = 7EF4_{\text{H}} \dots 32500$$

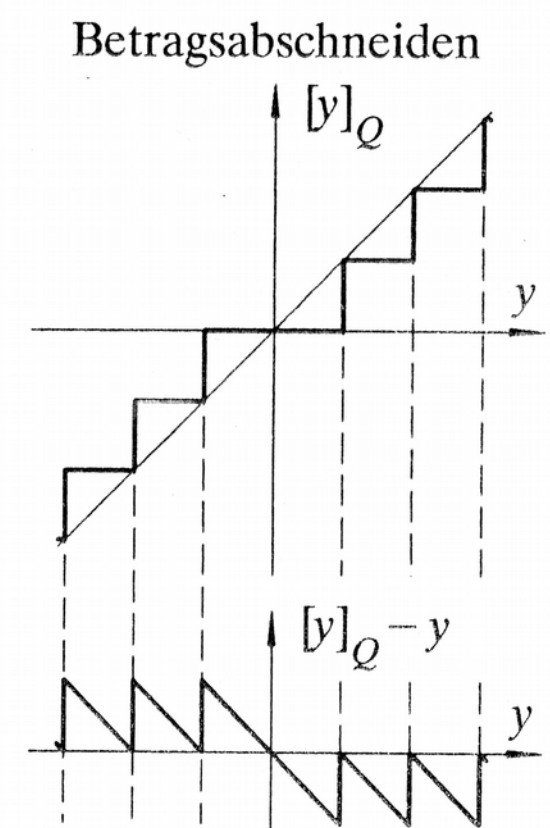
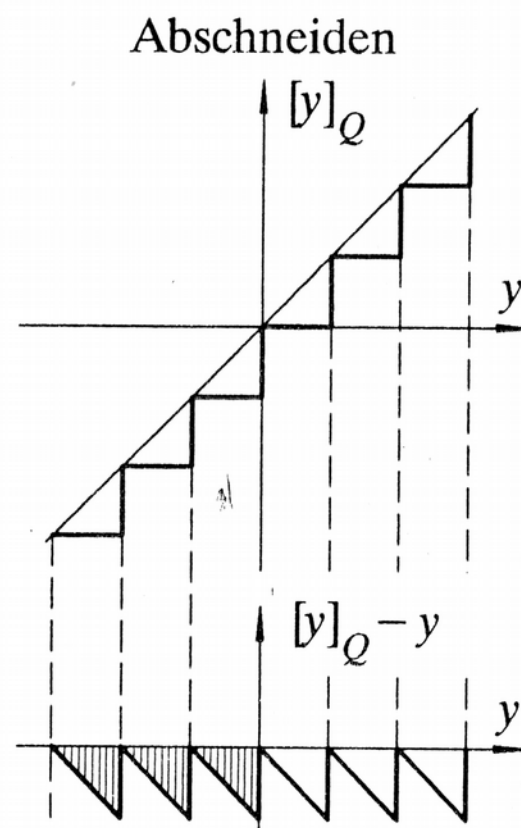
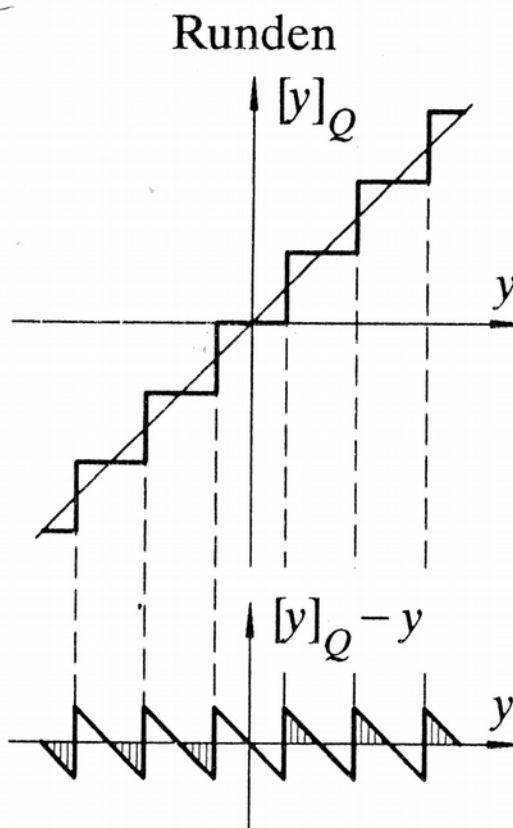
Quantisierung des Signals

- Direktform I, Quantisierung nach dem Akku



Runden oder Abschneiden

- Vergleich:

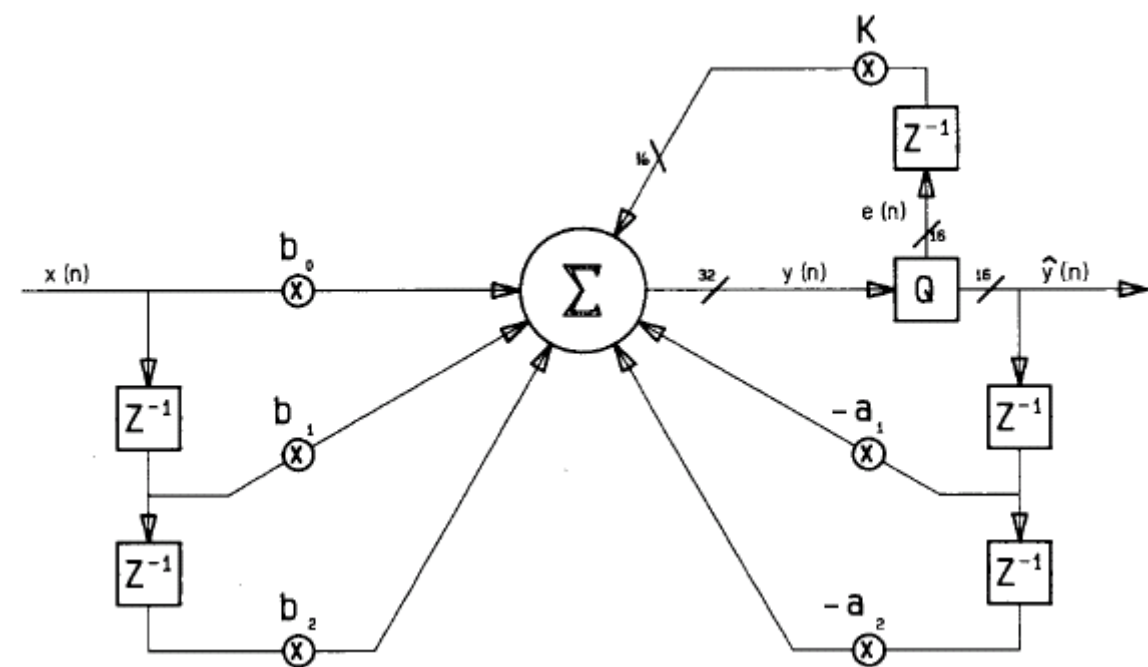


Fehlerrückkopplung

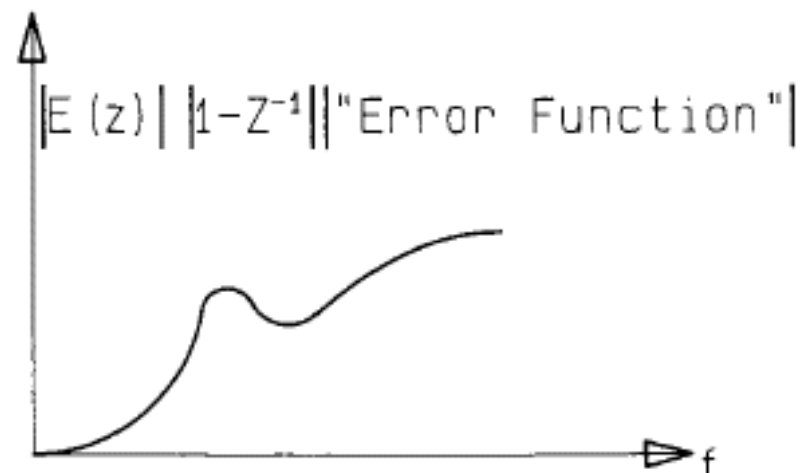
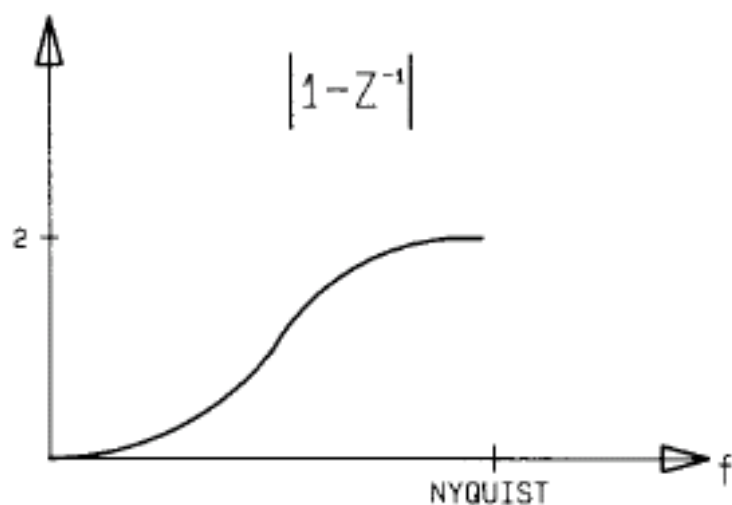
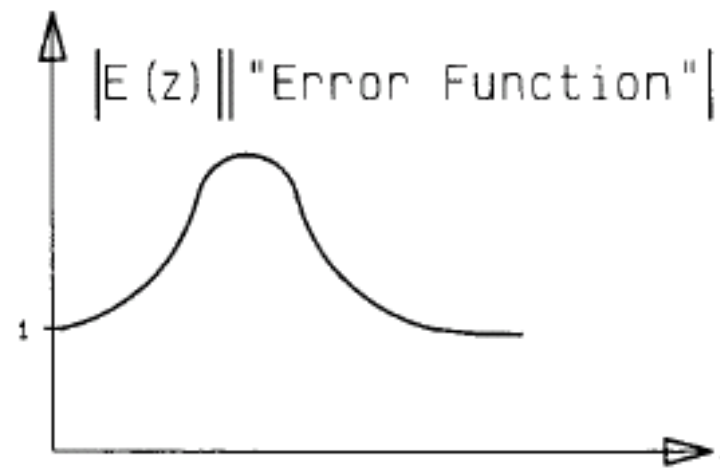
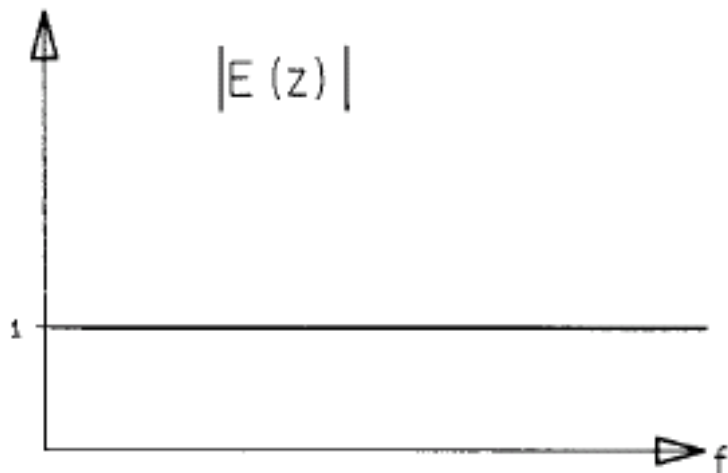
- Eigenschaften des Quantisierungsfehlers

$$\hat{Y}(Z) = X(Z) \cdot \frac{\sum b_i z^{-i}}{1 + \sum a_i z^{-i}} - E(Z) \cdot \frac{1}{1 + \sum a_i z^{-i}}$$

- Abhilfe: Rückkopplung



Error Spectrum Shaping



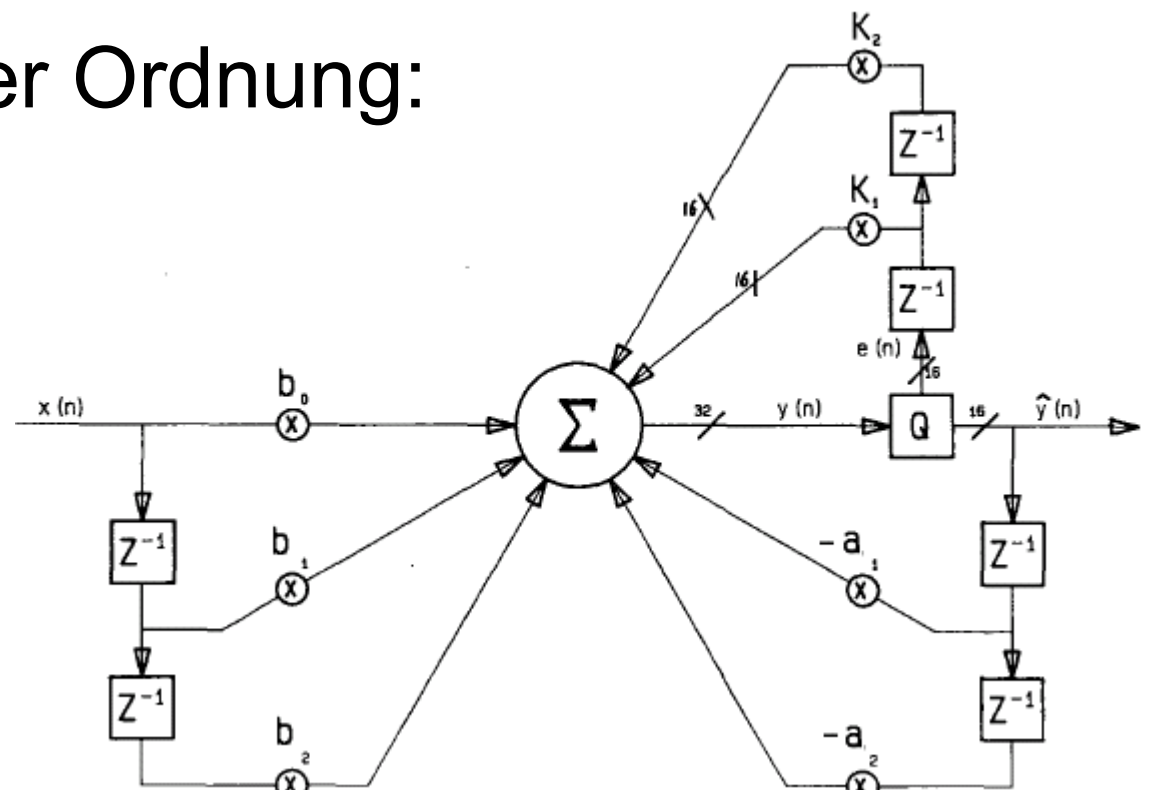
Datorro (1988)

Error Spectrum Shaping (2)

- Noise Shaping höherer Ordnung:

K_1	K_2	Region θ
+2	-1	0 Twice
-2	-1	π Twice
0	+1	0 and π
+1	-1	$\pi/3$ Twice
-1	-1	$2\pi/3$ Twice
+1	0	0 Once
-1	0	π Once

Datorro (1988)

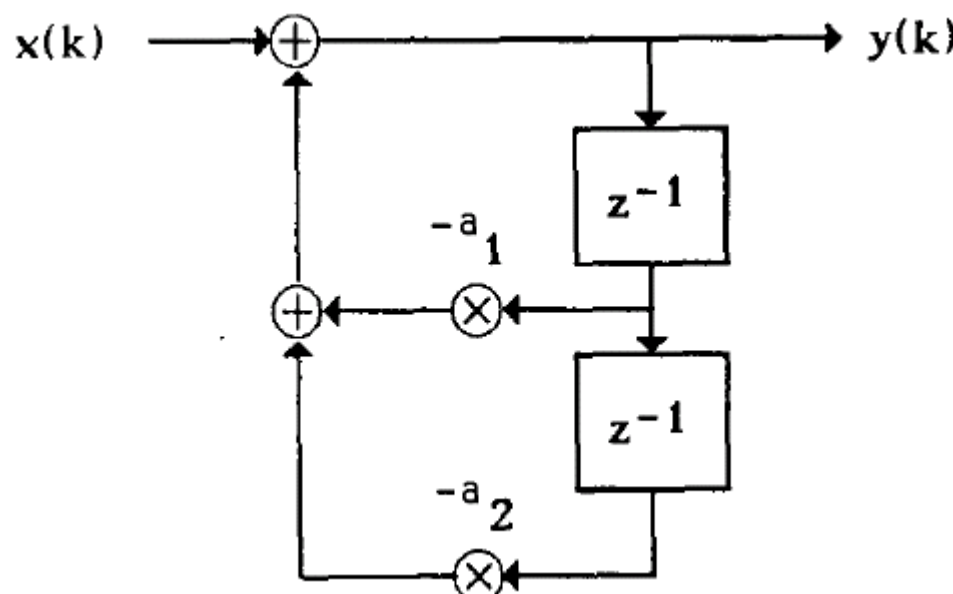


Datorro (1988)

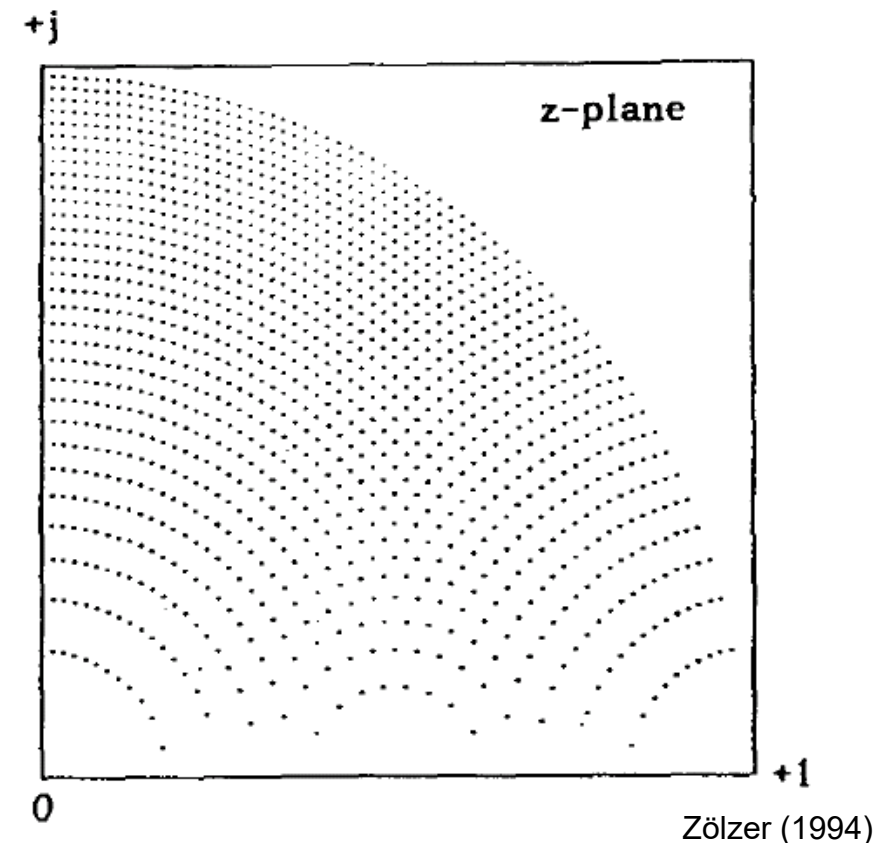
- Optimales Shaping?

Quantisierung der Parameter

- Verschiebung der Pol-/Nullstellen



Zölzer (1994)

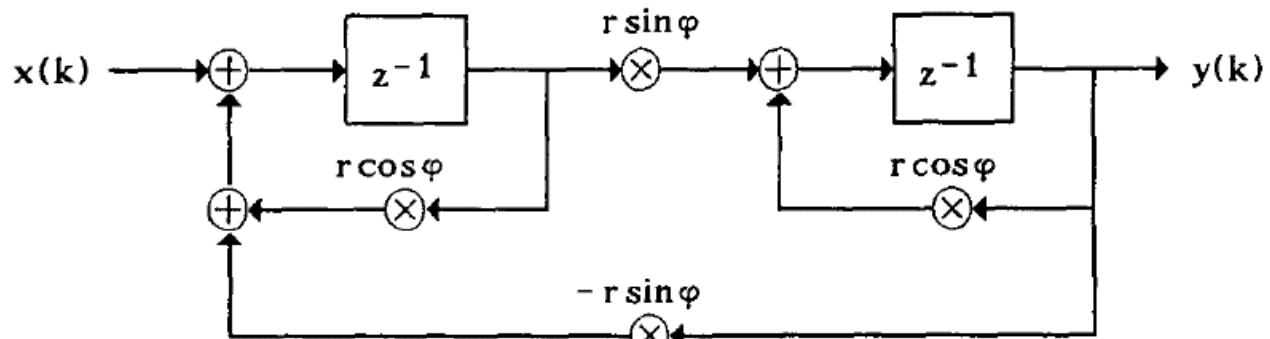


Zölzer (1994)

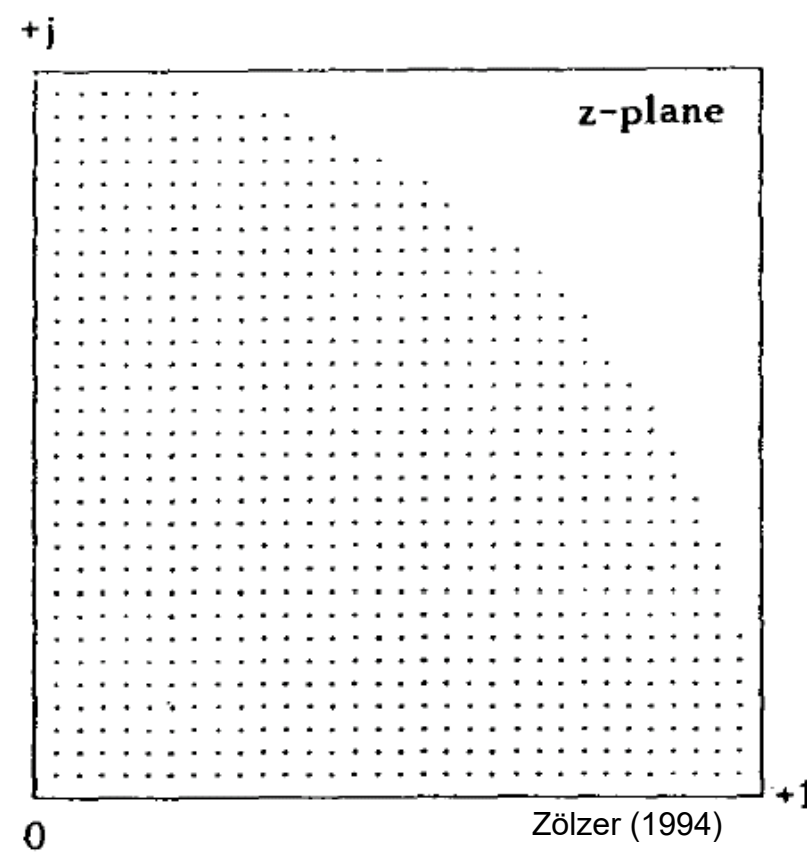
- Ungünstige Verteilung der Pol-/Nullstellen

Gold-Rader-Struktur

- Gleichmäßige Quantisierung der Z-Ebene



Zölzer (1994)



$$H(Z) = \frac{N(Z)}{1 + \underbrace{2\Re\{z_\infty\} \cdot z^{-1}}_{a_1} + \underbrace{\left(\Re\{z_\infty\}^2 + \Im\{z_\infty\}^2\right) \cdot z^{-2}}_{a_2}}$$

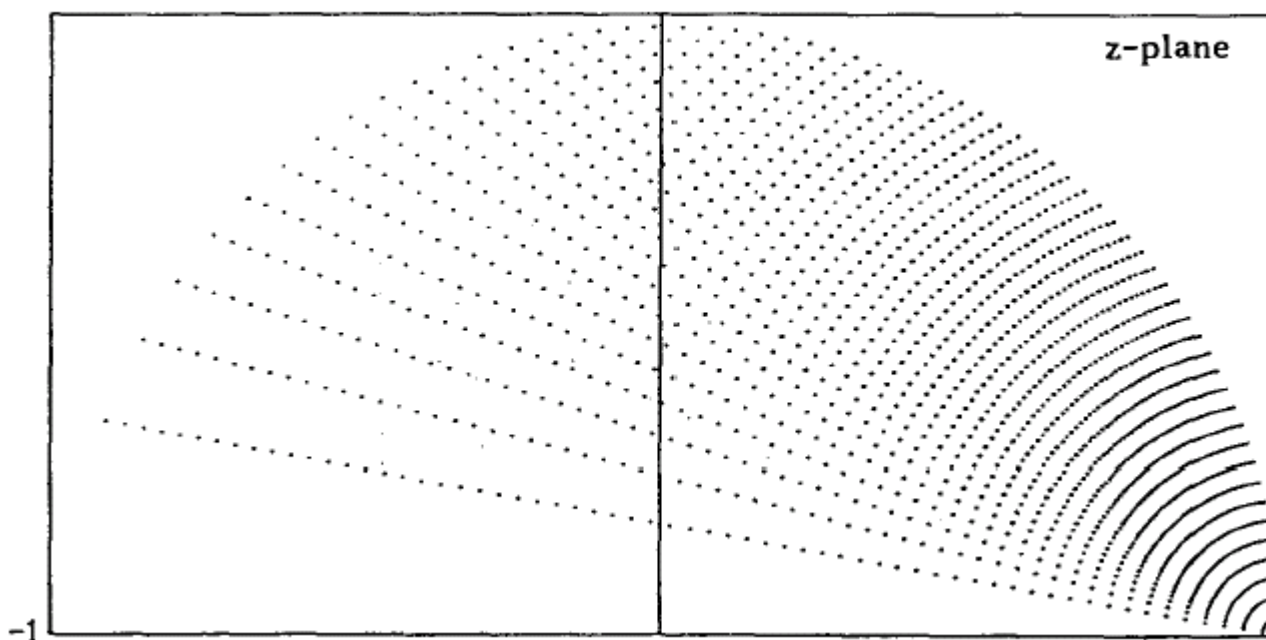
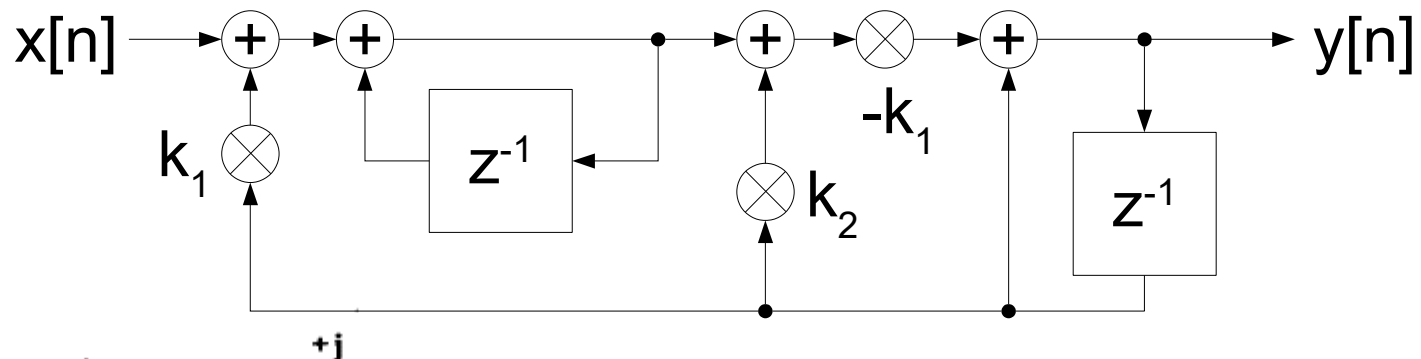
$$z_\infty = r e^{j\varphi}$$

0

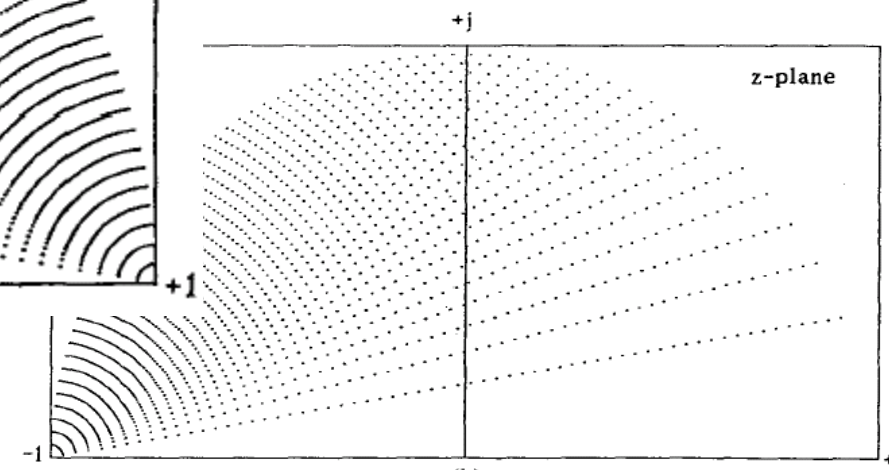
Zölzer (1994)

+1

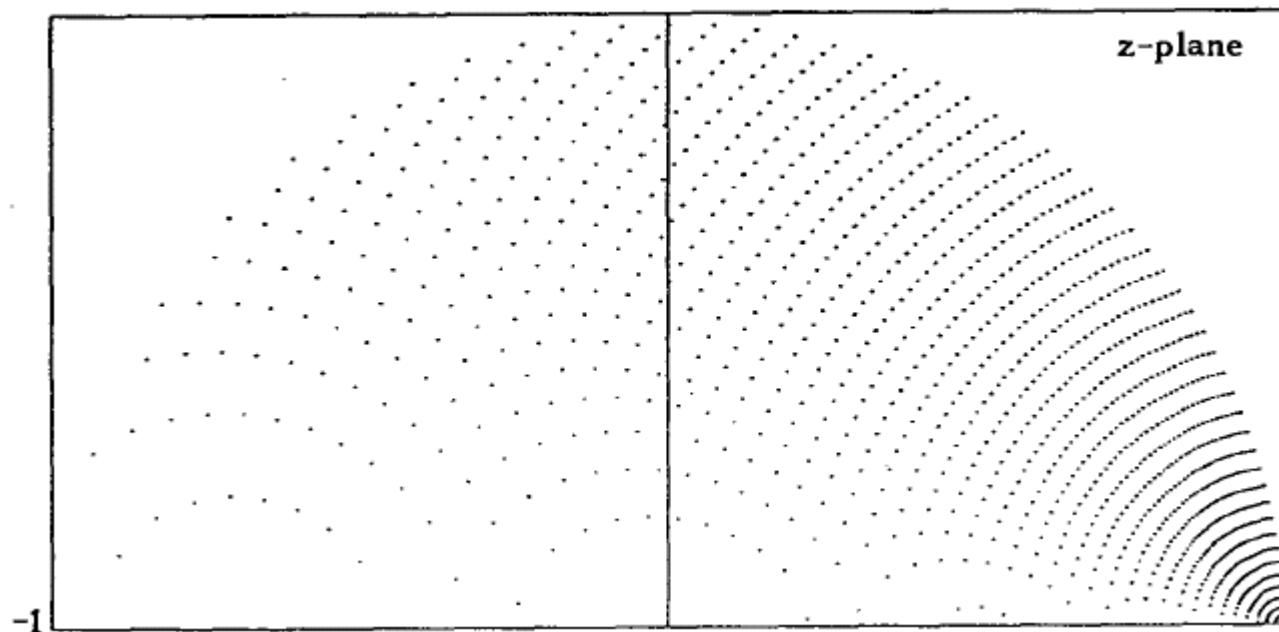
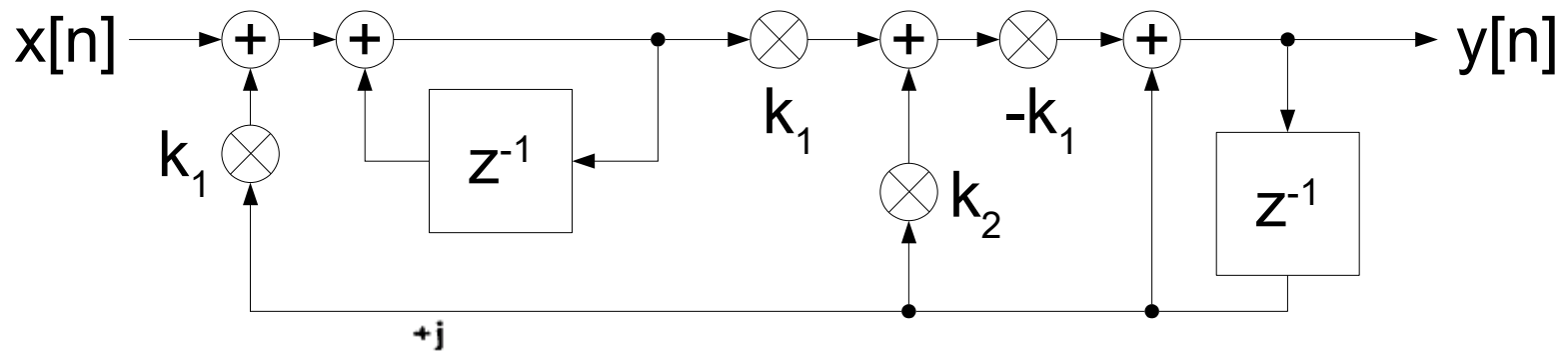
Kingsbury-Struktur



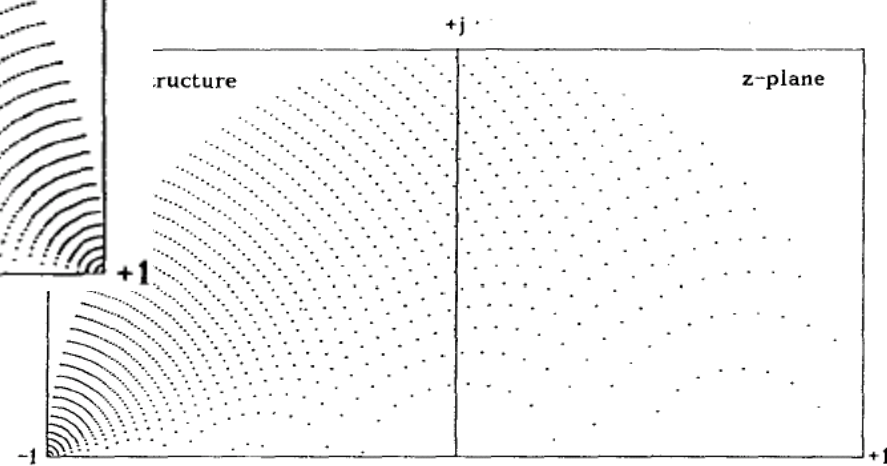
Zölzer (1994)



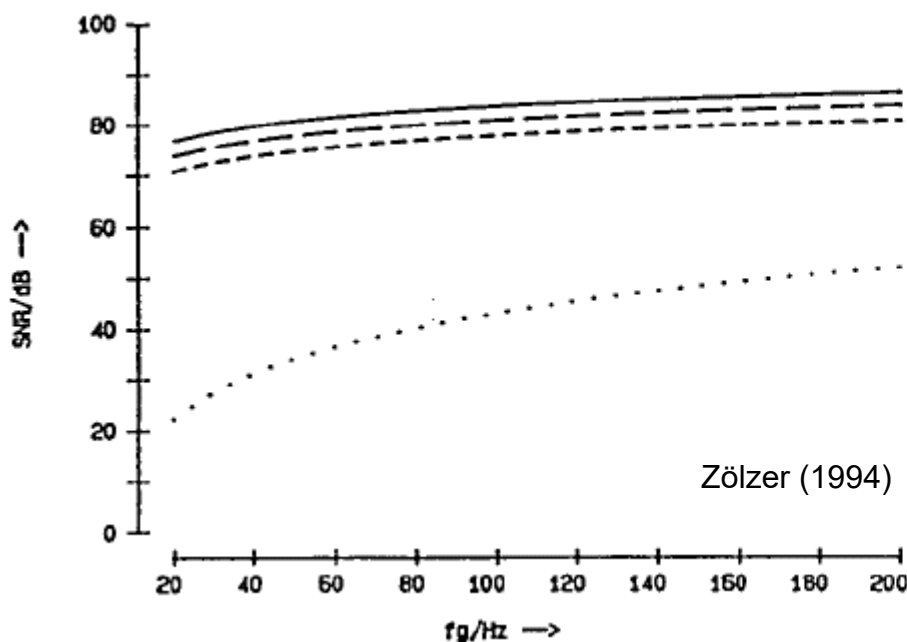
Zölzer-Struktur



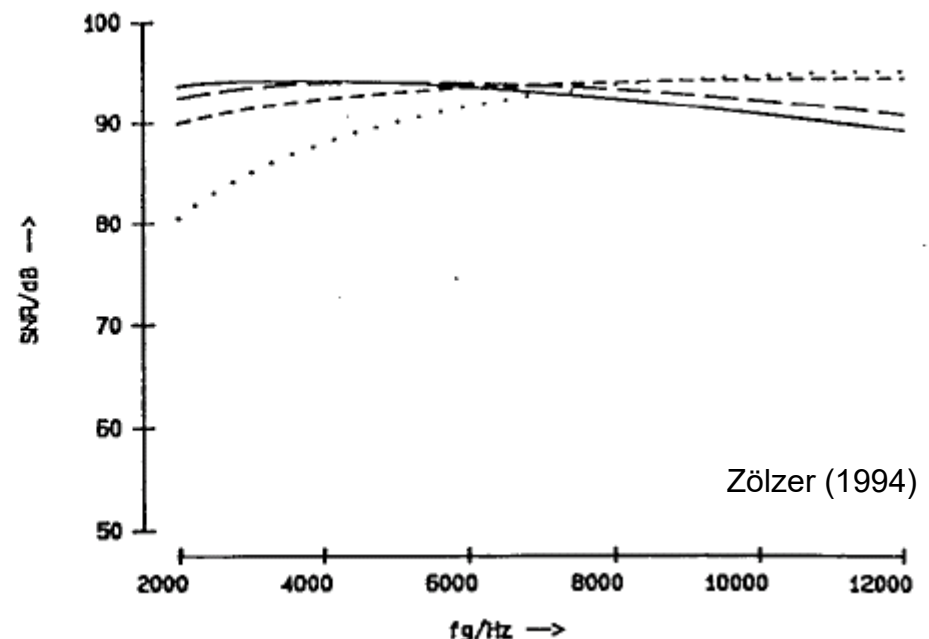
Zölzer (1994)



Vergleich der Strukturen



Zölzer (1994)



Zölzer (1994)

- Direktform
- Gold-Rader-Struktur
- - Kingsbury-Struktur
- Zölzer-Struktur

Parametrische Filter

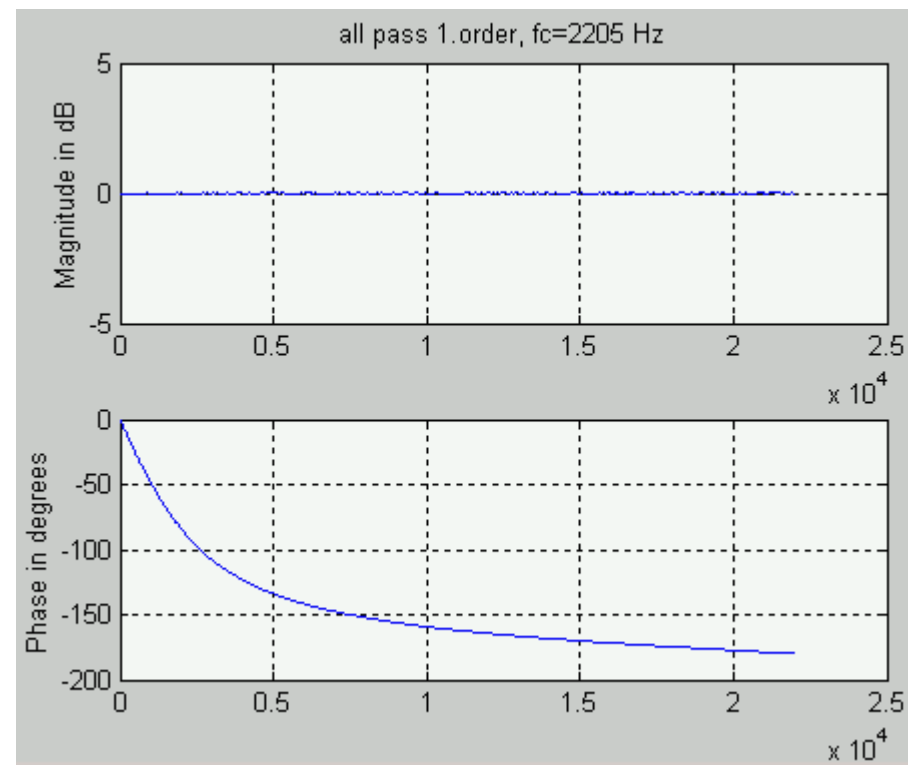
- Nachteile der Biquad-Struktur:
 - Charakteristik von allen Koeffizienten abhängig
 - Nur für statische Filter geeignet
- Ziele:
 - Unabhängige Koeffizienten
 - Stabil im jeweiligen Bereich
- Lösungen:
 - Spezielle Strukturen
 - Allpassfilter

Allpassfilter

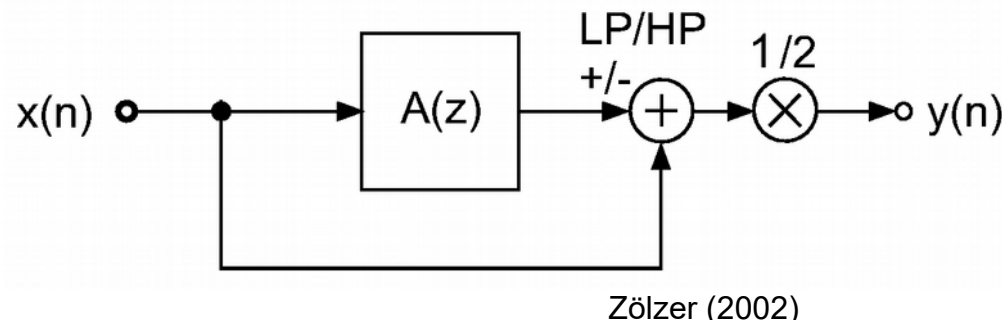
- Übertragungsfunktion:

$$A_1(z) = \frac{z^{-1} + c}{1 + c \cdot z^{-1}}$$
$$c = \frac{\tan(\pi f_c / f_s) - 1}{\tan(\pi f_c / f_s) + 1}$$

- Spektrum:

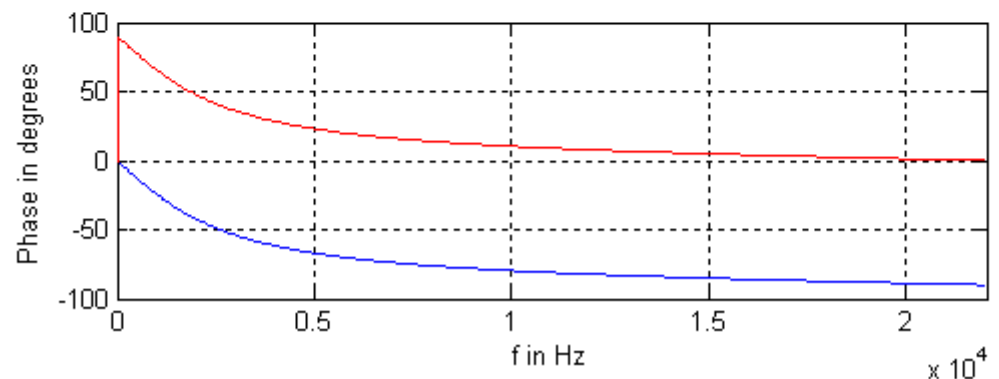
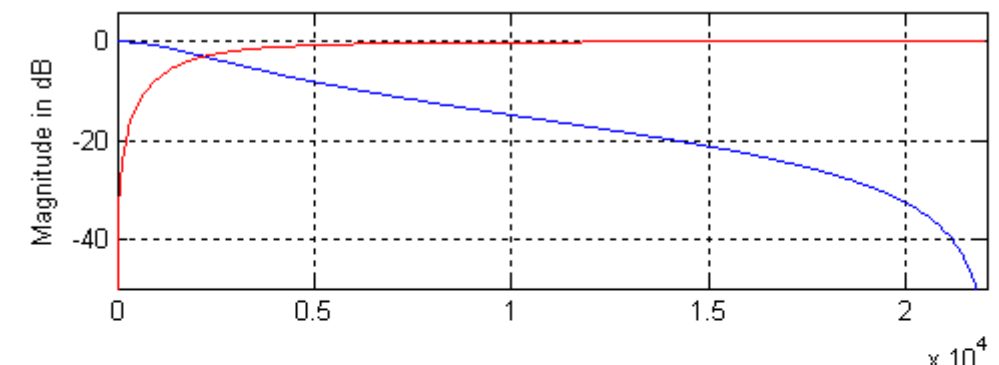


Hoch-/Tiefpassfilter



$$H(z) = \frac{1}{2}(1 + A(z))$$

$$H(z) = \frac{1}{2}(1 - A(z))$$



Allpassfilter 2-ter Ordnung

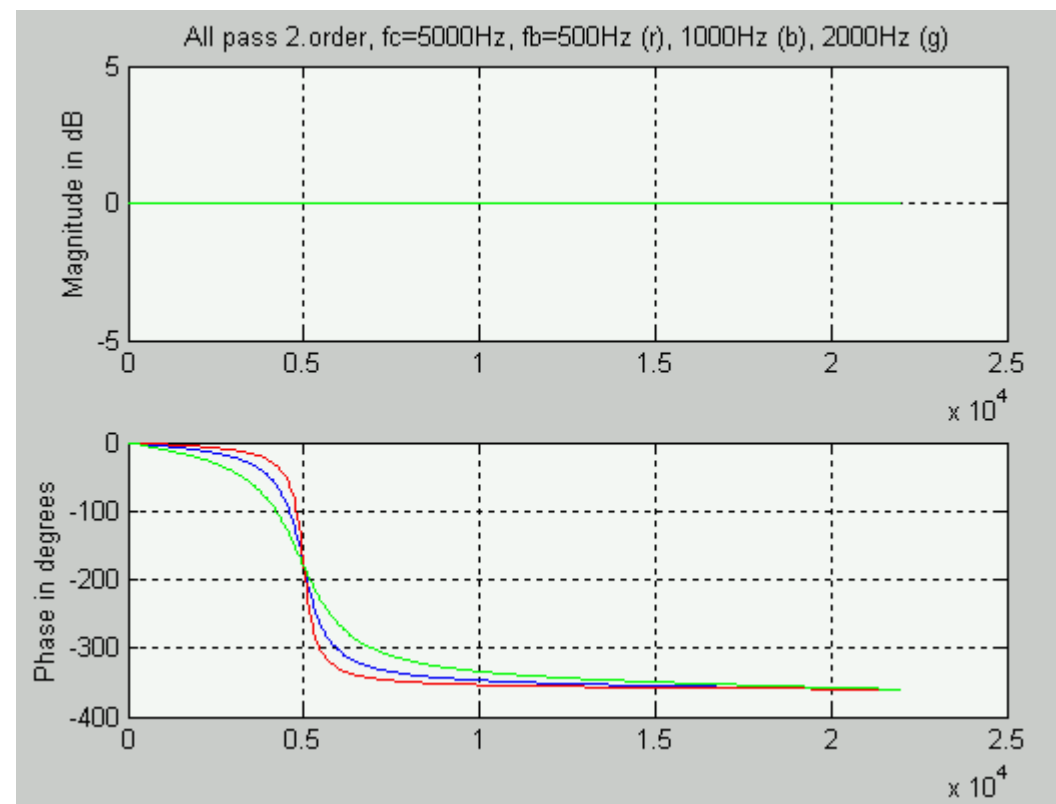
- Übertragungsfunktion:

$$b = \frac{\tan(\pi f_b/f_s) - 1}{\tan(\pi f_b/f_s) + 1}$$

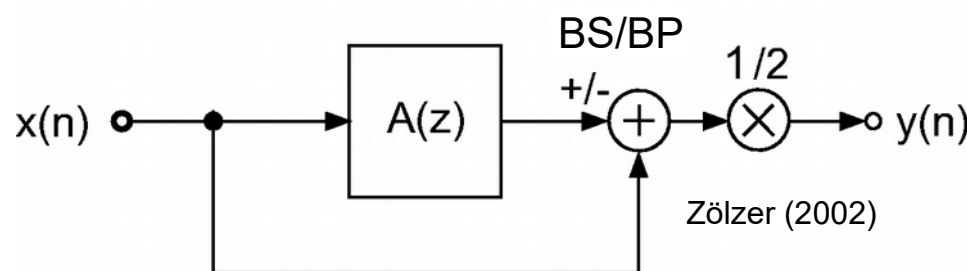
$$c = -\cos(2\pi f_c/f_s)$$

$$A_2(z) = \frac{z^{-2} + c(1-b)z^{-1} - b}{1 + c(1-b)z^{-1} - bz^{-2}}$$

- Spektrum:



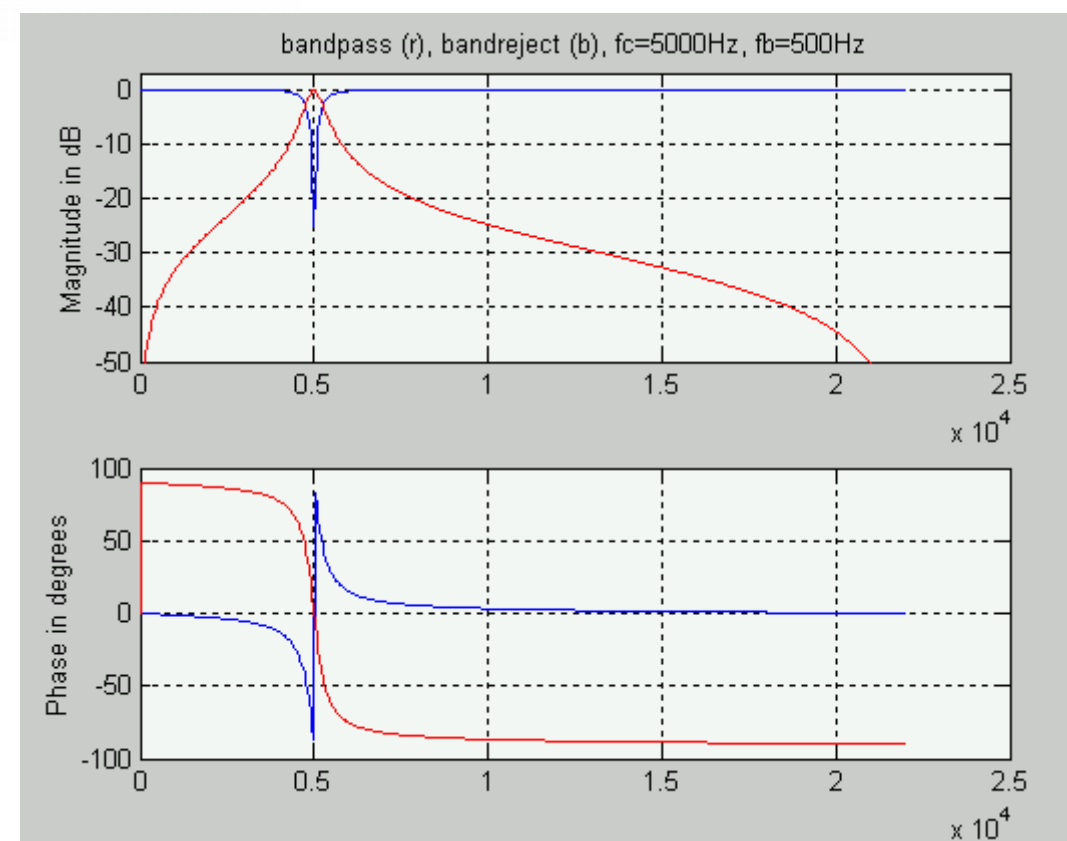
Bandpass / Bandsperre



Zölzer (2002)

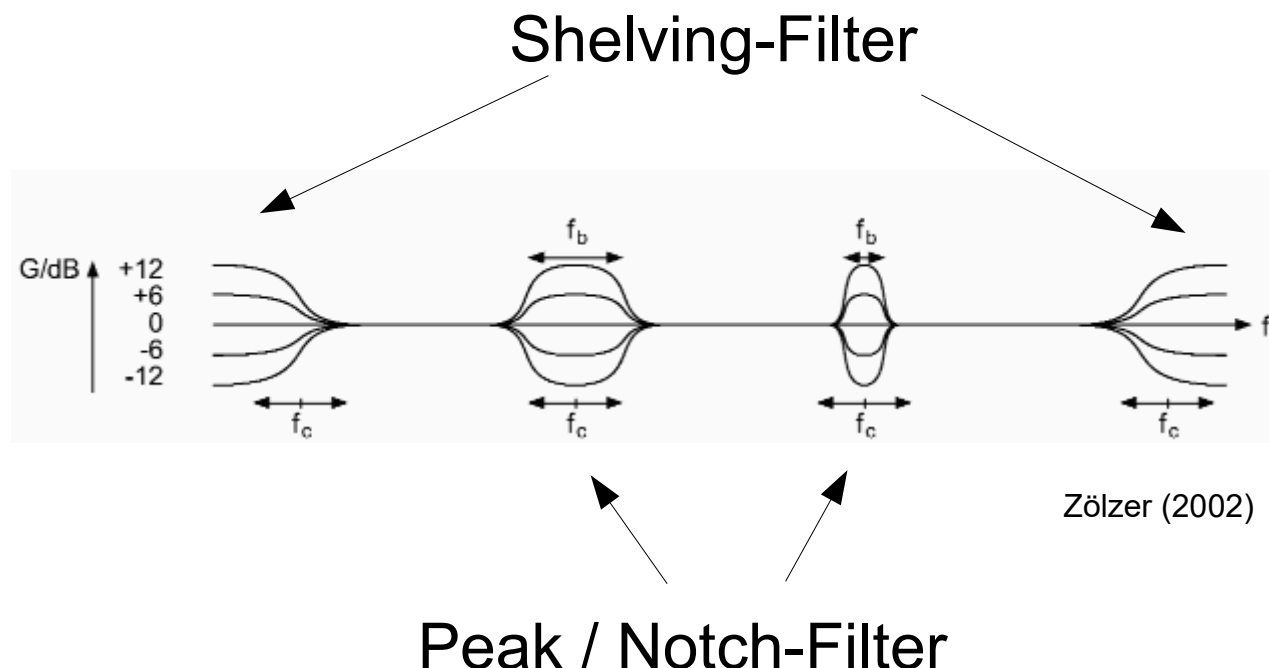
$$H(z) = \frac{1}{2} (1 + A_2(z))$$

$$H(z) = \frac{1}{2} (1 - A_2(z))$$



Equalizer

- Parameter:



Shelving Filter

- Kombination aus Tief- und Hochpassfilter
- Idee: Interessanter Bereich wird betont
- Hochpass:

$$\begin{array}{l} TP: \frac{1}{2}[1+A(z)] \\ HP: G_{\infty} \cdot \frac{1}{2}[1-A(z)] \end{array} \quad +$$

$$H(z) = \frac{1}{2}[G_{\infty} + 1 + (1 - G_{\infty})A(z)]$$

mit $H_0 = G_{\infty} - 1 \rightarrow G_{\infty} = H_0 + 1$:

$$H(z) = 1 + \frac{H_0}{2} \cdot [1 - A(z)]$$

Tiefpass:

$$\begin{array}{l} TP: \frac{G_0}{2}[1+A(z)] \\ HP: \frac{1}{2}[1-A(z)] \end{array} \quad +$$

$$H(z) = \frac{1}{2}[G_0 + 1 + (G_0 - 1)A(z)]$$

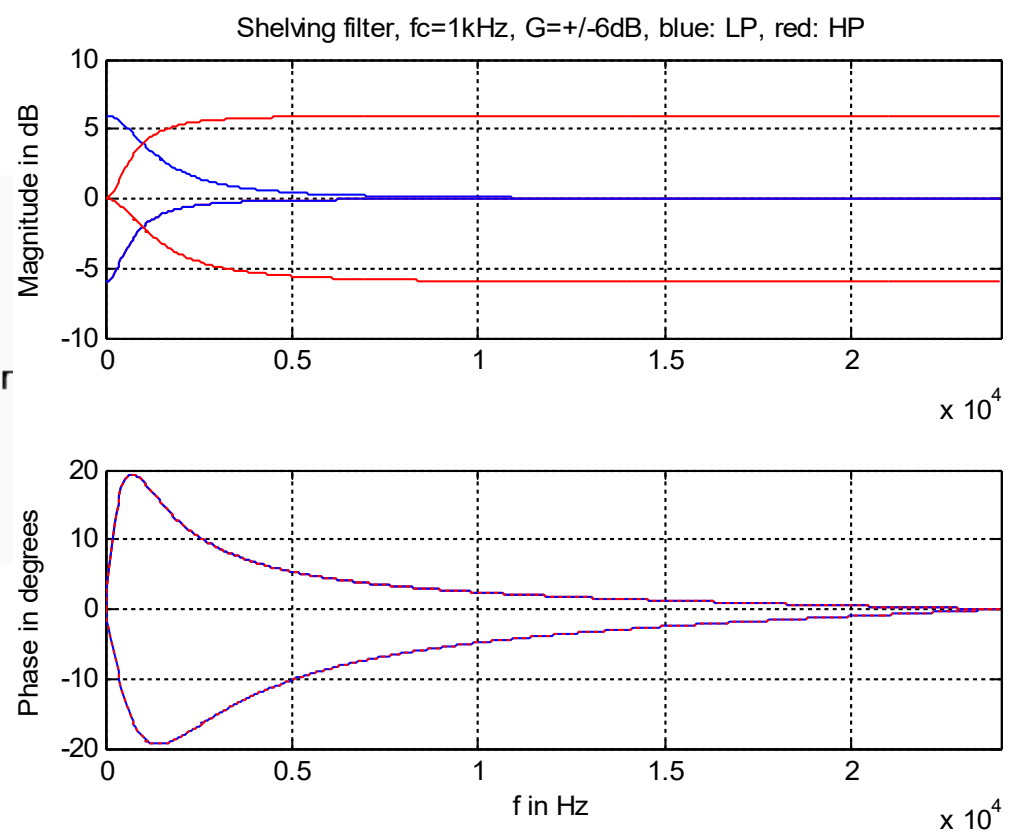
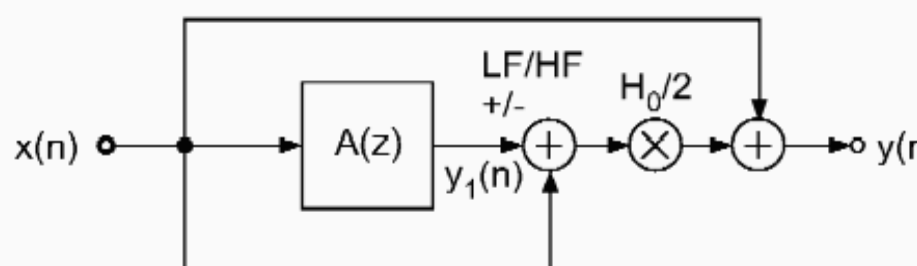
mit $H_0 = G_0 - 1 \rightarrow G_0 = H_0 + 1$

$$H(z) = 1 + \frac{H_0}{2} \cdot [1 + A(z)]$$

Shelving Filter

$$H(z) = 1 + \frac{H_0}{2} \cdot [1 \pm A(z)]$$

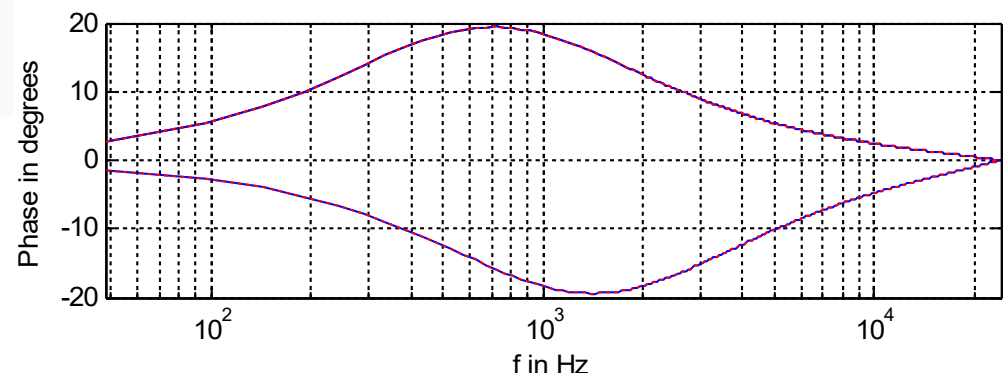
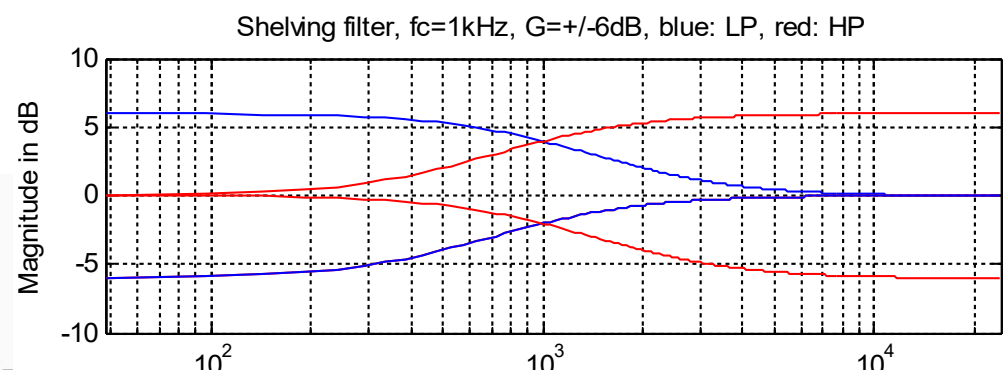
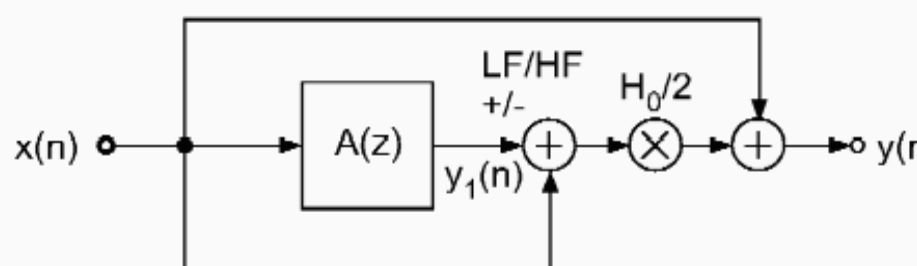
$$A_1(z) = \frac{z^{-1} + c}{1 + c \cdot z^{-1}} \quad c = \frac{\tan(\pi f_c/f_s) - 1}{\tan(\pi f_c/f_s) + 1}$$



Shelving Filter

$$H(z) = 1 + \frac{H_0}{2} \cdot [1 \pm A(z)]$$

$$A_1(z) = \frac{z^{-1} + c}{1 + c \cdot z^{-1}} \quad c = \frac{\tan(\pi f_c/f_s) - 1}{\tan(\pi f_c/f_s) + 1}$$



Peakfilter

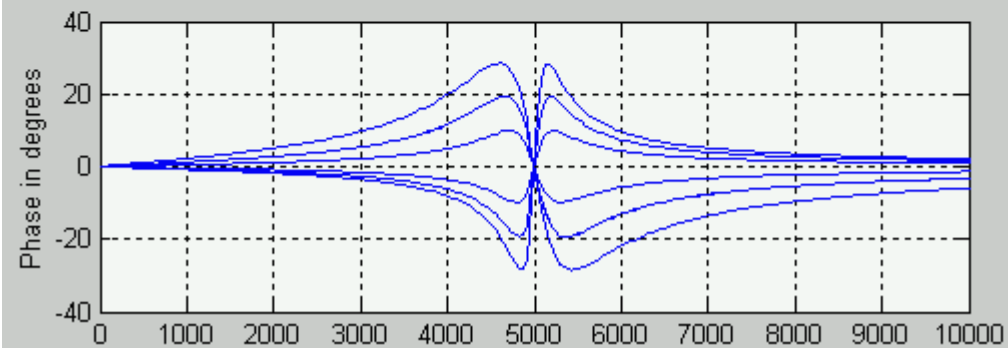
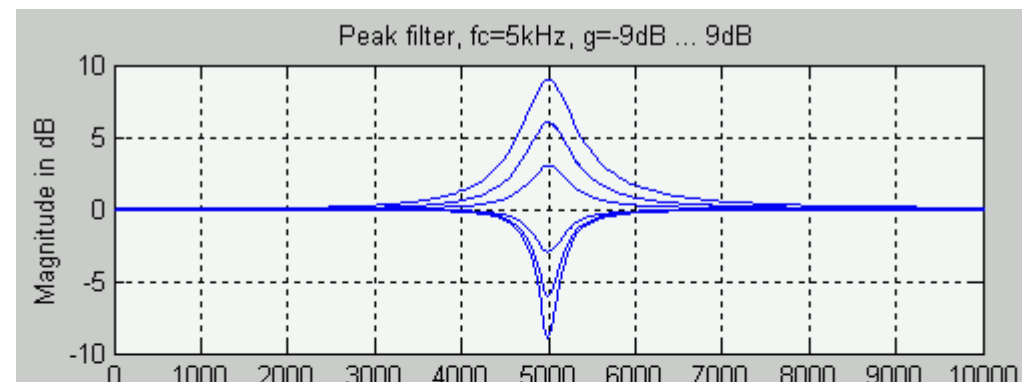
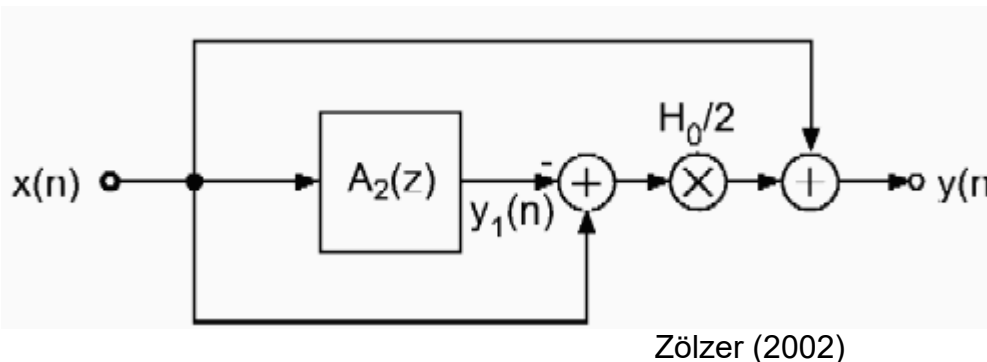
- Kombination aus Bandpass und Bandsperre

$$H(z) = 1 + \frac{H_0}{2} \cdot [1 - A_2(z)]$$

$$A_2(z) = \frac{z^{-2} + c(1-b)z^{-1} - b}{1 + c(1-b)z^{-1} - bz^{-2}}$$

$$b = \frac{\tan(\pi f_b/f_s) - 1}{\tan(\pi f_b/f_s) + 1}$$

$$c = -\cos(2\pi f_c/f_s)$$

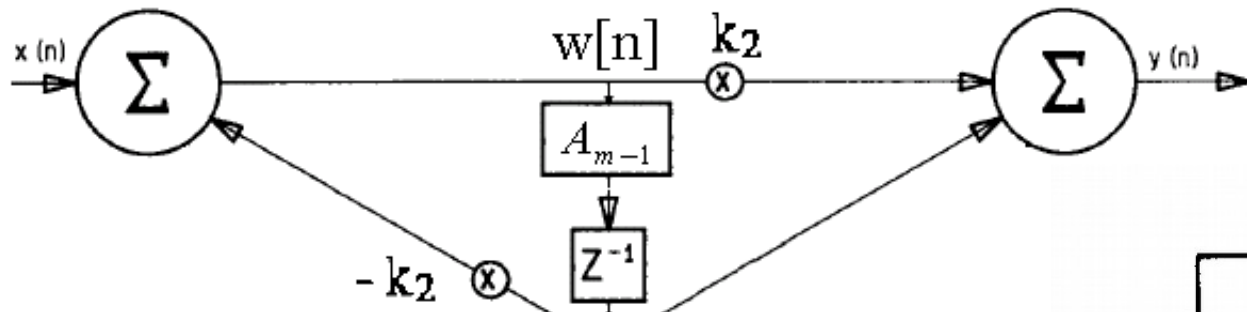


Lattice Filter

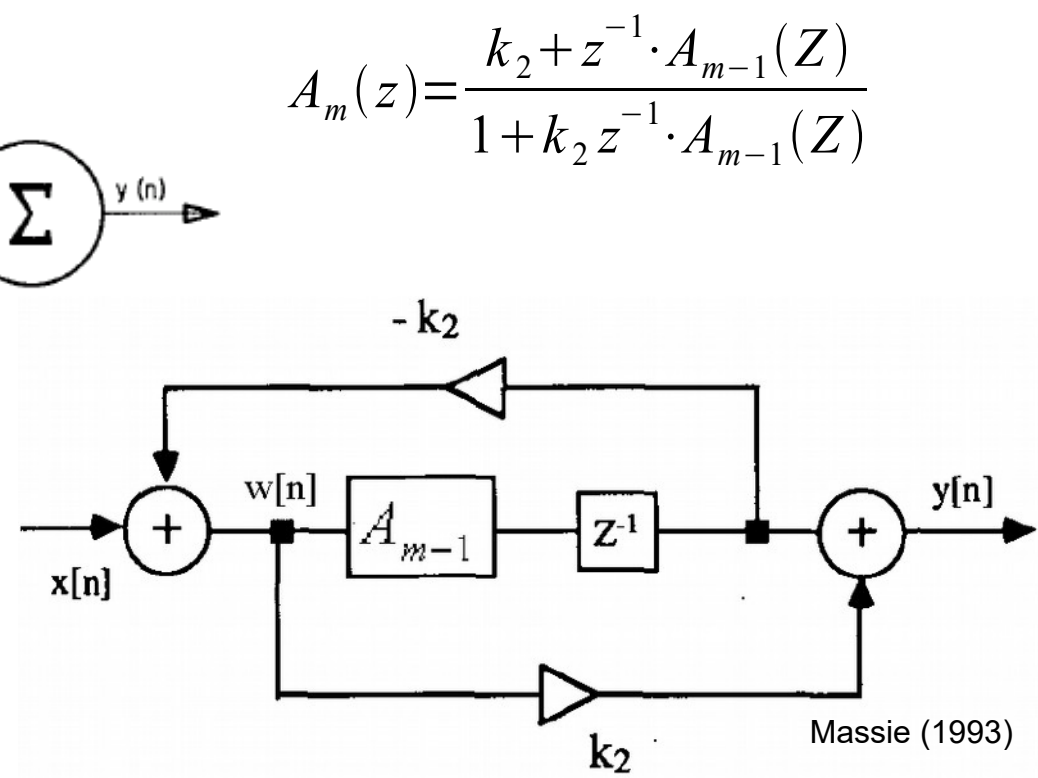
- Problem: Parameter im Allpass nicht unabhängig:

$$A_2(z) = \frac{z^{-2} + k_1(1-k_2)z^{-1} - k_2}{1 + k_1(1-k_2)z^{-1} - k_2 z^{-2}}$$

- Rekursive Form:

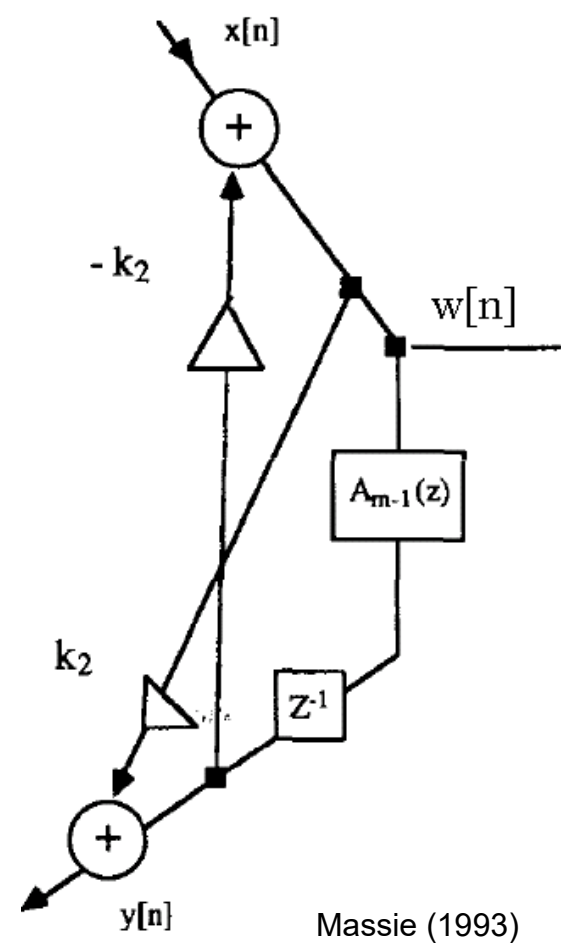
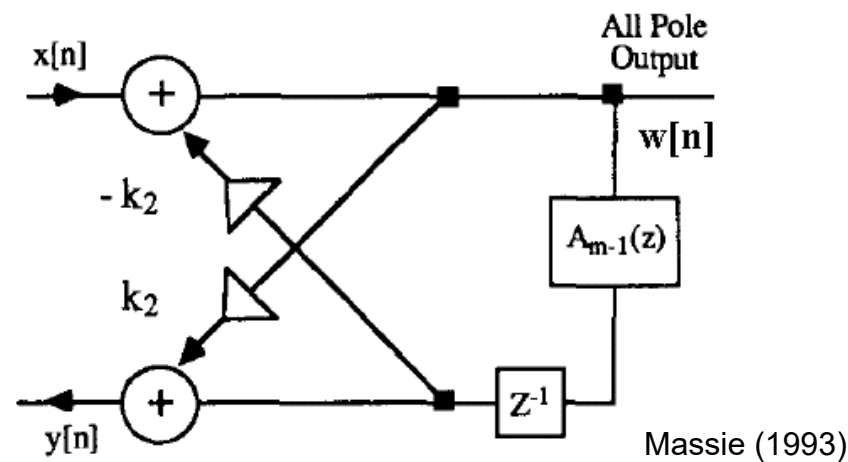
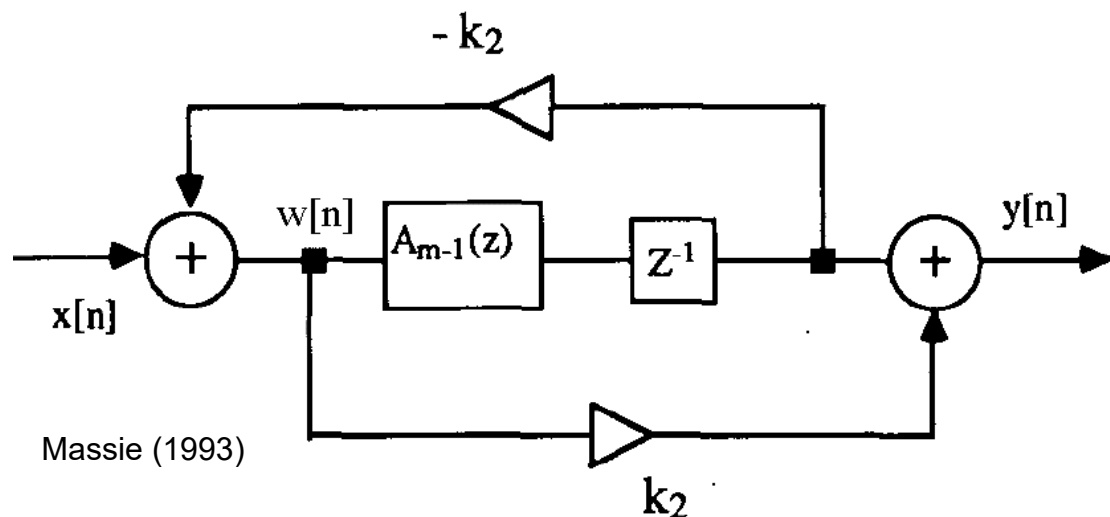


Datorro (1988)



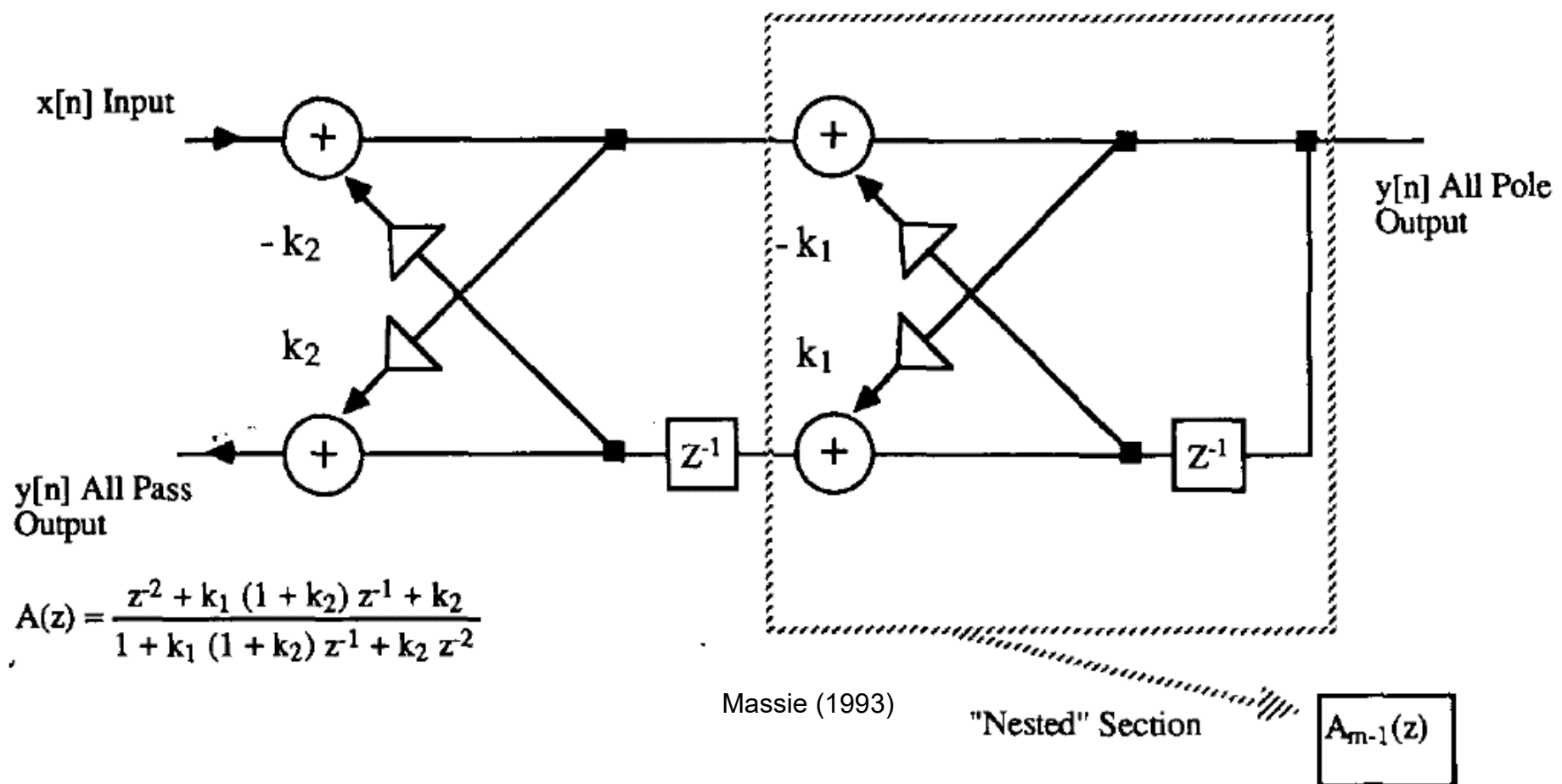
Massie (1993)

Lattice Filter (2)



Lattice (3)

- Ergebnis:



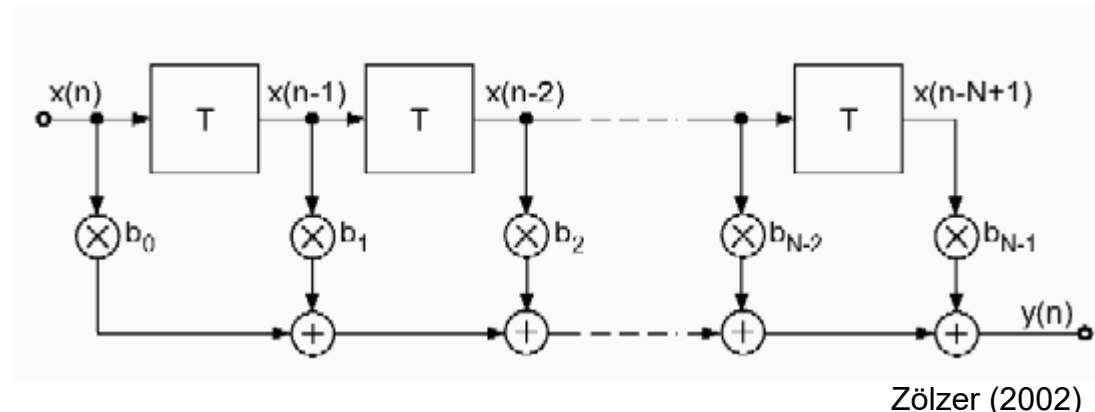
Nichtrekursive Audio-Filter

- Direkte Form: Faltung im Zeitbereich
- Schnelle Faltung: Multiplikation im Frequenzbereich
- Hybride Methoden:
 - Zero-delay convolution
 - Low-latency convolution

Faltung im Zeitbereich

- Faltung:

$$y[n] = (x * h)[n] = \sum_m^M x[m] \cdot h[n-m]$$



- Einfache Realisierung
- Zeitintensive Berechnung:
 $O(N \cdot M)$
(N ... Signallänge)
(M ... Filterlänge)

Schnelle Faltung

- Multiplikation im Frequenzbereich: $Y[k] = X[k] \cdot H[k]$

x[n]
h[n]

Länge: L

Länge: M

Zero padding auf Länge: $N = L + M - 1$

x[n]	0
h[n]	0

$\rightarrow DFT \rightarrow$

X[k]
H[k]

Faltung durch Multiplikation:

y[n]

Länge: $N = L + M - 1$

$IDFT$

$$Y[k] = X[k] \cdot H[k]$$

Aufwand: $O\left(\frac{3}{2} \cdot N \cdot \log_2 N\right) + 3N$

Schnelle Faltung – optimiert



- Bildung einer komplexwertigen Folge:

$$z[n] = x_F[n] + j \cdot x_{F+1}[n]$$

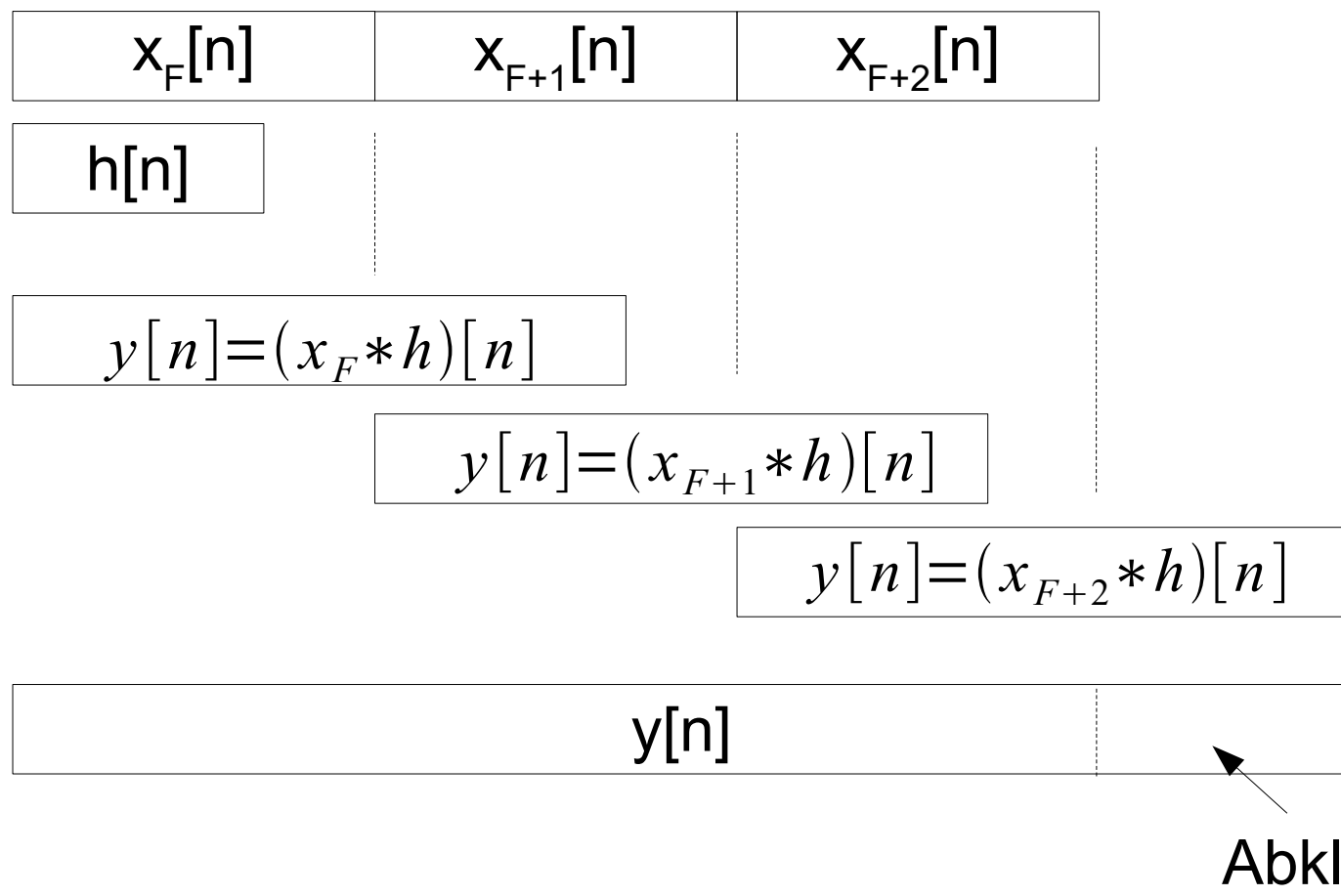
- Zero padding von $h[n]$ und $z[n]$ auf $N = M + L - 1$
- DFT von $h[n]$ und $z[n]$: $H[k]$ und $Z[k]$
- Multiplikation und IDFT:

$$e[n] = (z * h)[n] = (x_F * h)[n] + j(x_{F+1} * h)[n]$$

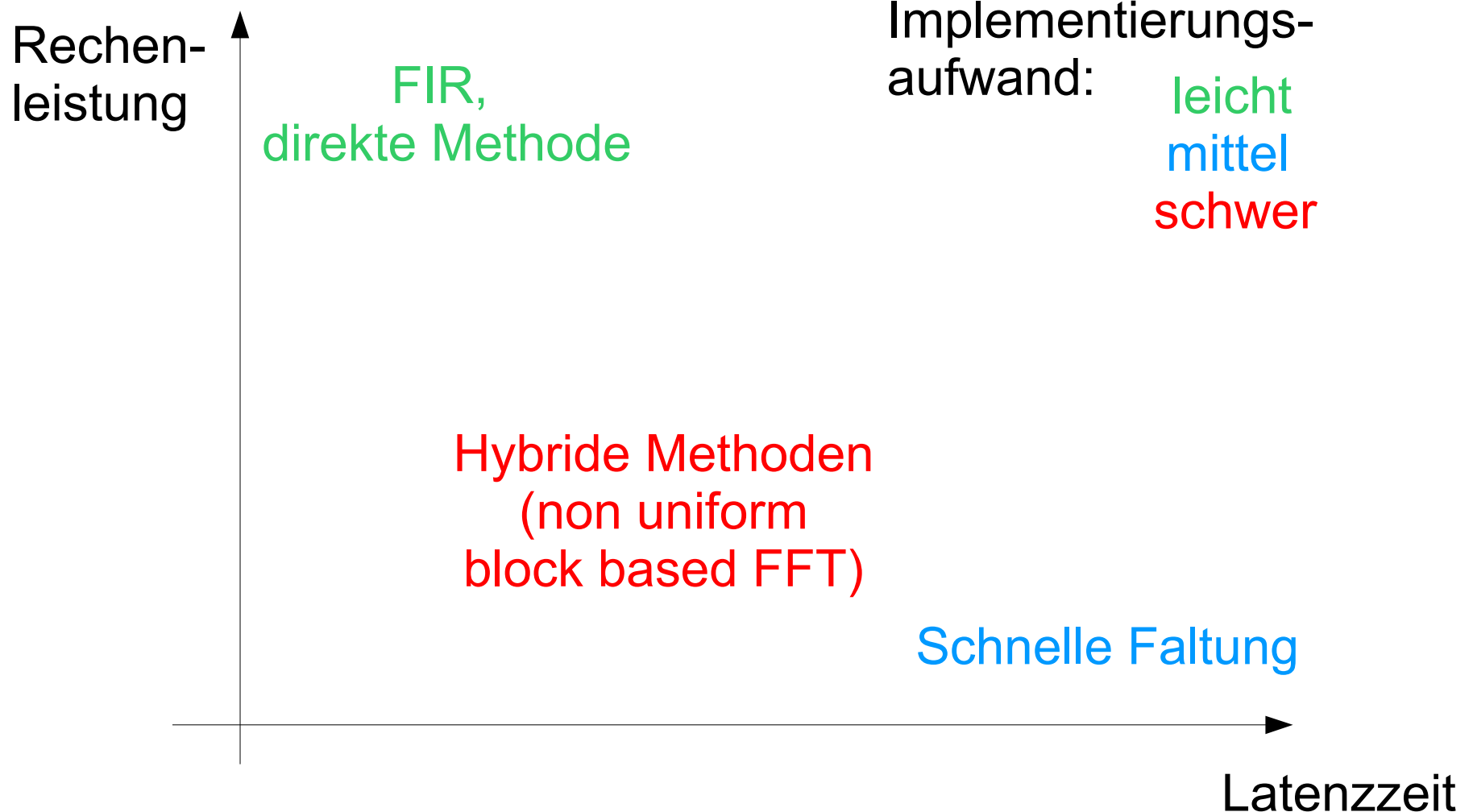
- Folgen teilen:
 $y_F[n] = \Re\{e[n]\}$
 $y_{F+1}[n] = \Im\{e[n]\}$

Zusammenführen der Ergebnisse

- Methode: Overlap and Add:



Vergleich der Faltungsalgorithmen

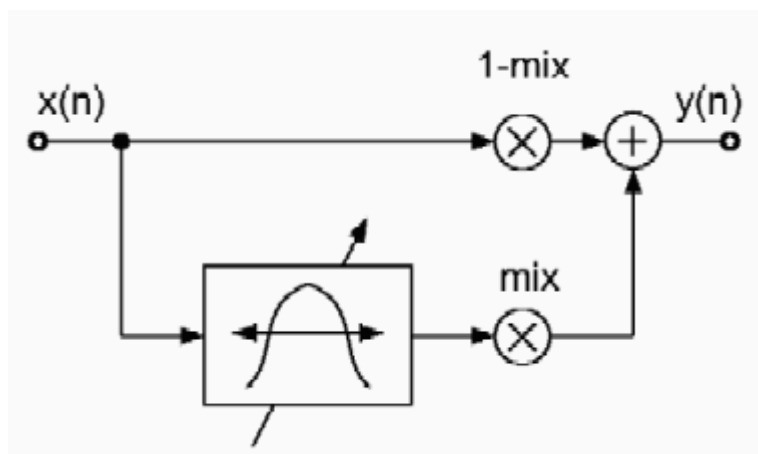


Zeitvariante Filter

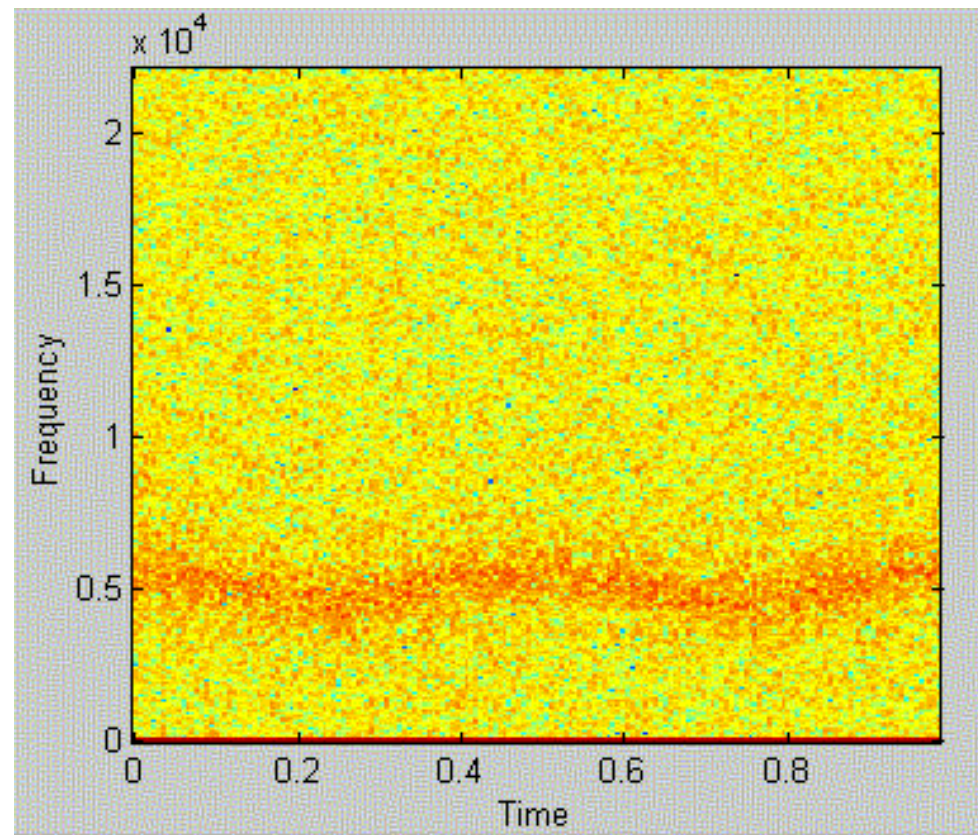
- Synthesizer
- Equalizer
- Echtzeitssysteme
- Virtuelle Akustik
- Beispiele:
 - Wah-wah
 - Phaser

Wah-Wah

- Zeitvarianter Peak-Filter:

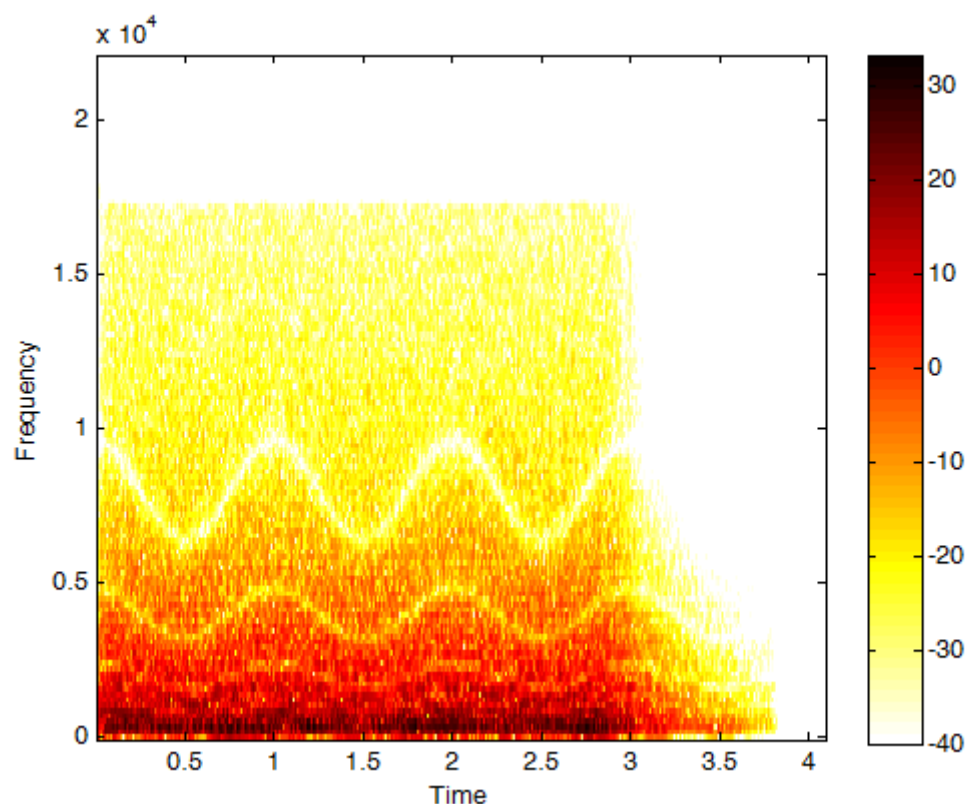
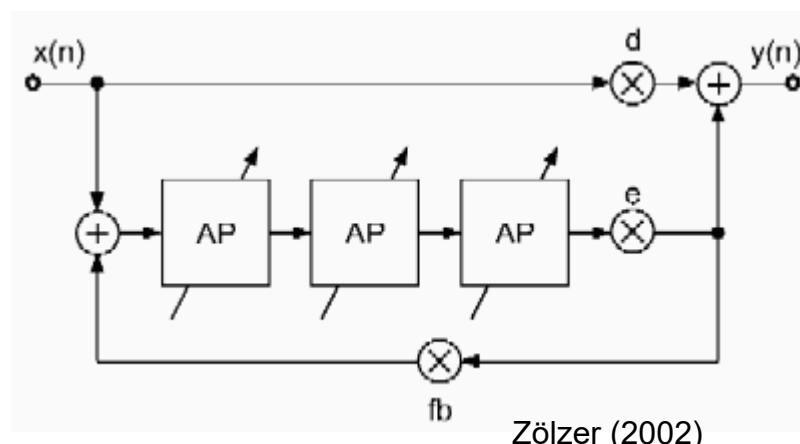
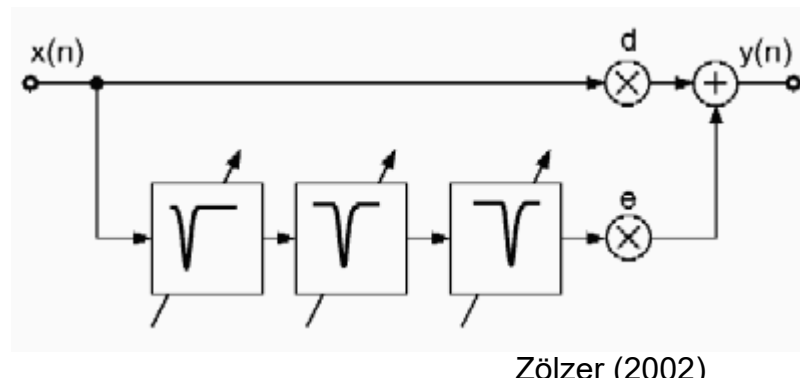


Zölzer (2002)



Phaser

- Mehrere zeitvariante Notch-Filter:



Weiterführende Literatur

- Jon Datorro (1988). „The Implementation of Recursive Digital Filters for High-Fidelity Audio,“ J. Audio Eng. Soc., 36: 851-878.
- Dana C. Massie (1993). „An Engineering Study of the Four-Multiply Normalized Ladder Filter,“ J. Audio Eng. Soc., 41: 564-582.
- Udo Zölzer (1994). „Roundoff Error Analysis of Digital Filters,“ J. Audio Eng. Soc., 42: 232-244.
- Rhonda Wilson (1993). „Filter Topologies,“ J. Audio Eng. Soc., 41: 667-677
- Gardner, W. G. (1995). "Efficient convolution without input-output delay," J. Audio Eng Soc 43, 127-136.